

Model checking temporisé

Béatrice Bérard

LAMSADE

Université Paris-Dauphine & CNRS

`berard@lamsade.dauphine.fr`

ETR'07, 5 septembre 2007

Nécessité de vérifier

des systèmes...



Nécessité de vérifier

des systèmes...



critiques



Nécessité de vérifier

avec des méthodes formelles

- ▶ génération de tests
- ▶ démonstration assistée
- ▶ model-checking

Nécessité de vérifier

avec des méthodes formelles

- ▶ génération de tests
- ▶ démonstration assistée
- ▶ model-checking

Nécessité de vérifier

avec des méthodes formelles

- ▶ génération de tests
- ▶ démonstration assistée
- ▶ **model-checking**

Nécessité de vérifier

avec des méthodes formelles

- ▶ génération de tests
- ▶ démonstration assistée
- ▶ **model-checking**

Le système

satisfait-il

sa spécification ?

Nécessité de vérifier

avec des méthodes formelles

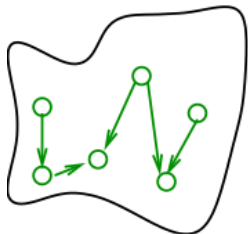
- ▶ génération de tests
- ▶ démonstration assistée
- ▶ **model-checking**

Le système

satisfait-il

sa spécification ?

Modélisation



algorithme de
model-checking

φ

Difficultés

pour chacune des trois étapes

- ▶ Construction d'un modèle M avec un système de transitions :
expressivité, taille du modèle (explosion combinatoire du nombre d'états).
- ▶ Choix d'une logique dans laquelle exprimer la formule φ :
expressivité, facilité d'utilisation.
- ▶ Algorithme de model-checking ($M \models \varphi ?$) pour une classe de modèles et un langage de spécification :
décidabilité, complexité, efficacité des outils associés.

Difficultés

pour chacune des trois étapes

- ▶ Construction d'un modèle M avec un système de transitions :
expressivité, taille du modèle (explosion combinatoire du nombre d'états).
- ▶ Choix d'une logique dans laquelle exprimer la formule φ :
expressivité, facilité d'utilisation.
- ▶ Algorithme de model-checking ($M \models \varphi?$) pour une classe de modèles et un langage de spécification :
décidabilité, complexité, efficacité des outils associés.

Difficultés

pour chacune des trois étapes

- ▶ Construction d'un modèle M avec un système de transitions :
expressivité, taille du modèle (explosion combinatoire du nombre d'états).
- ▶ Choix d'une logique dans laquelle exprimer la formule φ :
expressivité, facilité d'utilisation.
- ▶ Algorithme de model-checking ($M \models \varphi?$) pour une classe de modèles et un langage de spécification :
décidabilité, complexité, efficacité des outils associés.

Vérification quantitative

en ajoutant des caractéristiques

- ▶ temporisées,
- ▶ probabilistes,
- ▶ de coût,
- ▶ ...

aux modèles : par exemple en tenant compte des délais dans des protocoles de communication,

aux logiques : par exemple pour exprimer des propriétés de temps de réponse,

tout en conservant des algorithmes de model-checking.

Vérification quantitative

en ajoutant des caractéristiques

- ▶ **temporisées**,
- ▶ probabilistes,
- ▶ de coût,
- ▶ ...

aux modèles : par exemple en tenant compte des délais dans des protocoles de communication,

aux logiques : par exemple pour exprimer des propriétés de temps de réponse,

tout en conservant des algorithmes de model-checking.

Vérification quantitative

en ajoutant des caractéristiques

- ▶ **temporisées**,
- ▶ probabilistes,
- ▶ de coût,
- ▶ ...

aux modèles : par exemple en tenant compte des délais dans des protocoles de communication,

aux logiques : par exemple pour exprimer des propriétés de temps de réponse,

tout en conservant des algorithmes de model-checking.

Plan

Modèles temporisés

Logiques temporisées

Model-checking

Conclusion

Plan

Modèles temporisés

Logiques temporisées

Model-checking

Conclusion

Systèmes de transitions

Définition

Act alphabet d'actions,

Prop ensemble de propositions atomiques,

$T = (S, s_0, L, E)$ système de transitions

- ▶ S ensemble de configurations, s_0 configuration initiale,
- ▶ $L : S \mapsto 2^{\text{Prop}}$, étiquetage des configurations par des ensembles de propositions atomiques,
- ▶ $E \subseteq S \times \text{Act} \times S$ contient
des transitions d'action : $s \xrightarrow{a} s'$, exécution instantanée de l'action a

Exemple : une structure de Kripke

Une exécution :

$q_0 \rightarrow q_1 \rightarrow q_0 \rightarrow q_1 \rightarrow q_2 \rightarrow q_0 \rightarrow \dots$
ok fault ok fault alarm ok

Systèmes de transitions

Définition

Act alphabet d'actions,

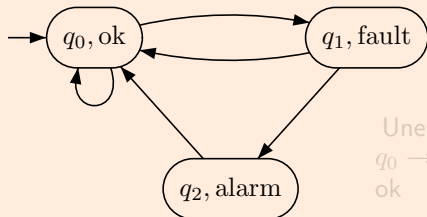
Prop ensemble de propositions atomiques,

$T = (S, s_0, L, E)$ système de transitions

- ▶ S ensemble de configurations, s_0 configuration initiale,
- ▶ $L : S \mapsto 2^{\text{Prop}}$, étiquetage des configurations par des ensembles de propositions atomiques,
- ▶ $E \subseteq S \times \text{Act} \times S$ contient

des transitions d'action : $s \xrightarrow{a} s'$, exécution instantanée de l'action a

Exemple : une structure de Kripke



un seul type d'action (omise)

ok, fault, alarm : prop. atomiques

Une exécution :

$q_0 \rightarrow q_1 \rightarrow q_0 \rightarrow q_1 \rightarrow q_2 \rightarrow q_0 \rightarrow \dots$
ok fault ok fault alarm ok

Systèmes de transitions

Définition

Act alphabet d'actions,

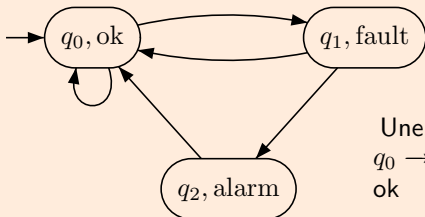
Prop ensemble de propositions atomiques,

$T = (S, s_0, L, E)$ système de transitions

- ▶ S ensemble de configurations, s_0 configuration initiale,
- ▶ $L : S \mapsto 2^{\text{Prop}}$, étiquetage des configurations par des ensembles de propositions atomiques,
- ▶ $E \subseteq S \times \text{Act} \times S$ contient

des transitions d'action : $s \xrightarrow{a} s'$, exécution instantanée de l'action a

Exemple : une structure de Kripke



un seul type d'action (omise)

ok, fault, alarm : prop. atomiques

Une exécution :

$q_0 \rightarrow q_1 \rightarrow q_0 \rightarrow q_1 \rightarrow q_2 \rightarrow q_0 \rightarrow \dots$
ok fault ok fault alarm ok

Systèmes de transitions

Définition

Act alphabet d'actions,

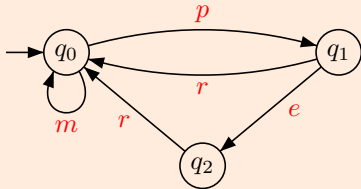
Prop ensemble de propositions atomiques,

$\mathcal{T} = (S, s_0, L, E)$ système de transitions

- ▶ S ensemble de configurations, s_0 configuration initiale,
- ▶ $L : S \mapsto 2^{\text{Prop}}$, étiquetage des configurations par des ensembles de propositions atomiques,
- ▶ $E \subseteq S \times \text{Act} \times S$ contient

des transitions d'action : $s \xrightarrow{a} s'$, exécution instantanée de l'action a

Exemple : un automate (fini)



prop. atomiques : noms des états

m, p, r, e : actions

Une exécution :

$q_0 \xrightarrow{p} q_1 \xrightarrow{r} q_0 \xrightarrow{p} q_1 \xrightarrow{e} q_2 \xrightarrow{r} q_0 \dots$

Systèmes de transitions

Définition

Act alphabet d'actions,

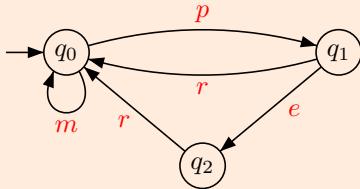
Prop ensemble de propositions atomiques,

$\mathcal{T} = (S, s_0, L, E)$ système de transitions

- ▶ S ensemble de configurations, s_0 configuration initiale,
- ▶ $L : S \mapsto 2^{\text{Prop}}$, étiquetage des configurations par des ensembles de propositions atomiques,
- ▶ $E \subseteq S \times \text{Act} \times S$ contient

des transitions d'action : $s \xrightarrow{a} s'$, exécution instantanée de l'action a

Exemple : un automate (fini)



prop. atomiques : noms des états

m, p, r, e : actions

Une exécution :

$q_0 \xrightarrow{p} q_1 \xrightarrow{r} q_0 \xrightarrow{p} q_1 \xrightarrow{e} q_2 \xrightarrow{r} q_0 \cdots$

Systèmes de transitions temporisés

Définition

Act alphabet d'actions,

Prop ensemble de propositions atomiques,

$\mathcal{T} = (S, s_0, L, E)$ système de transitions

- ▶ S ensemble de configurations, s_0 configuration initiale,
- ▶ $L : S \mapsto 2^{\text{Prop}}$, étiquetage des configurations par des ensembles de propositions atomiques,
- ▶ $E \subseteq S \times \text{Act} \times S$ contient

des transitions d'action : $s \xrightarrow{a} s'$, exécution instantanée de l'action a

des transitions de durée : $s \xrightarrow{d} s'$, écoulement d'une durée d .

Systèmes de transitions temporisés

Définition

Act alphabet d'actions, \mathbb{T} domaine de temps plongé dans $\mathbb{R}_{\geq 0}$,

Prop ensemble de propositions atomiques,

$T = (S, s_0, L, E)$ système de transitions temporisé

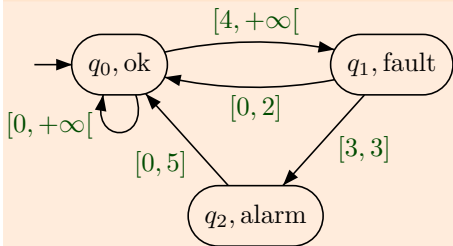
- ▶ S ensemble de configurations, s_0 configuration initiale,
- ▶ $L : S \mapsto 2^{\text{Prop}}$, étiquetage des configurations par des ensembles de propositions atomiques,
- ▶ $E \subseteq S \times (\text{Act} \cup \mathbb{T}) \times S$ contient

des transitions d'action : $s \xrightarrow{a} s'$, exécution instantanée de l'action a

des transitions de durée : $s \xrightarrow{d} s'$, écoulement d'une durée d .

Exemple 1 : structures de Kripke avec durées

Une variante de [Emerson et al. 1992]



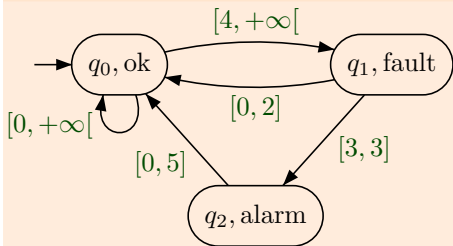
ok, fault, alarm : prop. atomiques
domaine de temps : \mathbb{N}
contrainte : un intervalle de \mathbb{N}

Une exécution : $q_0 \xrightarrow{15} q_1 \xrightarrow{1} q_0 \xrightarrow{8} q_1 \xrightarrow{3} q_2 \xrightarrow{4} q_0 \dots$

Rq : uniquement des transitions de durées (*Act* est vide).

Exemple 1 : structures de Kripke avec durées

Une variante de [Emerson et al. 1992]



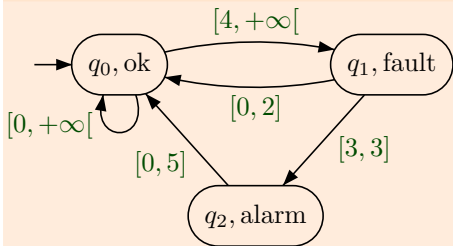
ok, fault, alarm : prop. atomiques
domaine de temps : \mathbb{N}
contrainte : un intervalle de \mathbb{N}

Une exécution : $q_0 \xrightarrow{15} q_1 \xrightarrow{1} q_0 \xrightarrow{8} q_1 \xrightarrow{3} q_2 \xrightarrow{4} q_0 \dots$

Rq : uniquement des transitions de durées (*Act* est vide).

Exemple 1 : structures de Kripke avec durées

Une variante de [Emerson et al. 1992]



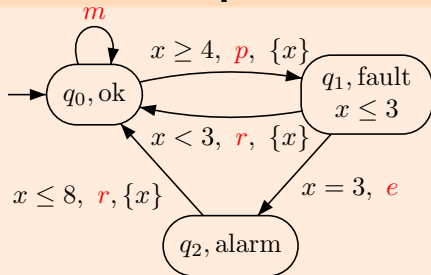
ok, fault, alarm : prop. atomiques
domaine de temps : \mathbb{N}
contrainte : un intervalle de \mathbb{N}

Une exécution : $q_0 \xrightarrow{15} q_1 \xrightarrow{1} q_0 \xrightarrow{8} q_1 \xrightarrow{3} q_2 \xrightarrow{4} q_0 \dots$

Rq : uniquement des transitions de durées (*Act* est vide).

Exemple 2 : automates temporisés

Une variante de [Alur et Dill 1990]



x : horloge à valeurs dans $\mathbb{R}_{\geq 0}$

m, p, r, e : actions

ok, fault, alarm : prop. atomiques

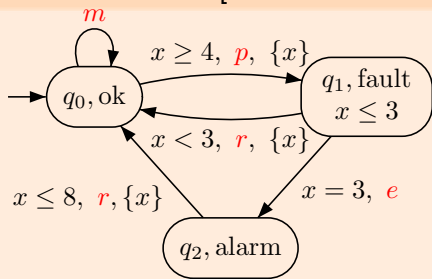
$x < 3$, $x = 3$, $x \geq 4$: gardes

$x \leq 3$: invariant

$\{x\}$: remise à zéro de x

Exemple 2 : automates temporisés

Une variante de [Alur et Dill 1990]



x : horloge à valeurs dans $\mathbb{R}_{\geq 0}$

m, p, r, e : actions

ok, fault, alarm : prop. atomiques

$x < 3, x = 3, x \geq 4$: gardes

$x \leq 3$: invariant

$\{x\}$: remise à zéro de x

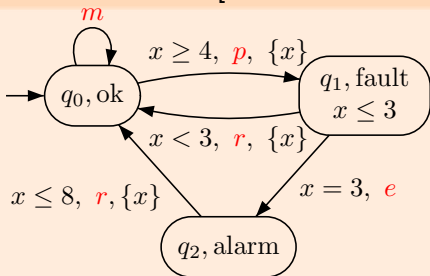
Contraintes et valuations d'horloges

X ensemble d'horloges, valuation $v : X \mapsto \mathbb{R}_{\geq 0}$,

$\mathcal{C}(X)$ ensemble de contraintes d'horloges : conjonctions de contraintes atomiques de la forme $x \bowtie c$, pour une constante c et \bowtie dans $\{<, \leq, =, \geq, >\}$.

Exemple 2 : automates temporisés

Une variante de [Alur et Dill 1990]



x : horloge à valeurs dans $\mathbb{R}_{\geq 0}$

m, p, r, e : actions

ok, fault, alarm : prop. atomiques

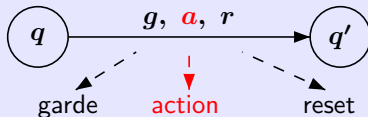
$x < 3, x = 3, x \geq 4$: gardes

$x \leq 3$: invariant

$\{x\}$: remise à zéro de x

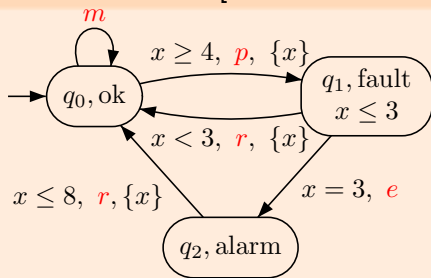
Automate temporisé $\mathcal{A} = (Q, q_0, \ell, Inv, \Delta)$

- ▶ Q ensemble d'états, q_0 état initial,
- ▶ ℓ fonction d'étiquetage, Inv associe un invariant à chaque état
- ▶ Δ contient des transitions :



Exemple 2 : automates temporisés

Une variante de [Alur et Dill 1990]



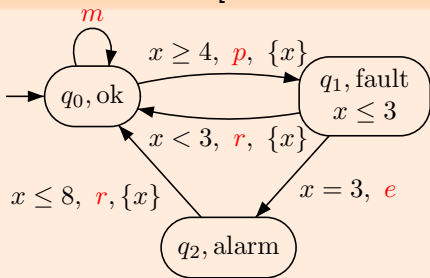
Une exécution : $(q_0, [0]) \xrightarrow{8.3} (q_0, [8.3]) \xrightarrow{p} (q_1, [0]) \xrightarrow{3} (q_1, [3]) \xrightarrow{e} (q_2, [3]) \xrightarrow{2.1} (q_2, [5.1]) \xrightarrow{r} (q_0, [0]) \dots$

Mot temporisé : $(p, 8.3)(e, 11.3)(r, 13.4) \dots$

Etiquetage : ok, fault, alarm, ok...

Exemple 2 : automates temporisés

Une variante de [Alur et Dill 1990]



Configurations : (q, v)
 v valeur de x satisfaisant
l'invariant

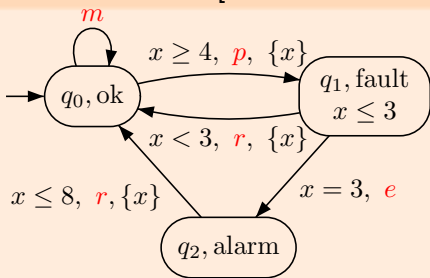
Une exécution : $(q_0, [0]) \xrightarrow{8.3} (q_0, [8.3]) \xrightarrow{p} (q_1, [0]) \xrightarrow{3} (q_1, [3]) \xrightarrow{e} (q_2, [3])$
 $\xrightarrow{2.1} (q_2, [5.1]) \xrightarrow{r} (q_0, [0]) \dots$

Mot temporisé : $(p, 8.3)(e, 11.3)(r, 13.4) \dots$

Etiquetage : ok, fault, alarm, ok...

Exemple 2 : automates temporisés

Une variante de [Alur et Dill 1990]



Configurations : (q, v)
 v valeur de x satisfaisant
l'invariant

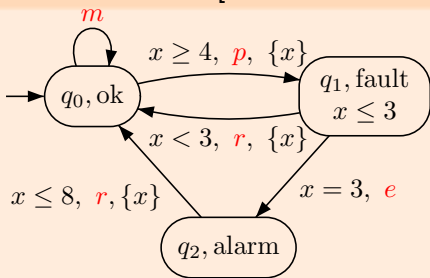
Une exécution : $(q_0, [0]) \xrightarrow{8.3} (q_0, [8.3]) \xrightarrow{p} (q_1, [0]) \xrightarrow{3} (q_1, [3]) \xrightarrow{e} (q_2, [3]) \xrightarrow{2.1} (q_2, [5.1]) \xrightarrow{r} (q_0, [0]) \dots$

Mot temporisé : $(p, 8.3)(e, 11.3)(r, 13.4) \dots$

Etiquetage : ok, fault, alarm, ok...

Exemple 2 : automates temporisés

Une variante de [Alur et Dill 1990]



Configurations : (q, v)
 v valeur de x satisfaisant
l'invariant

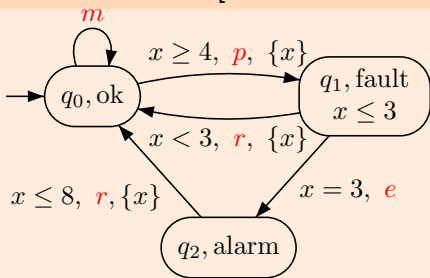
Une exécution : $(q_0, [0]) \xrightarrow{8.3} (q_0, [8.3]) \xrightarrow{p} (q_1, [0]) \xrightarrow{3} (q_1, [3]) \xrightarrow{e} (q_2, [3]) \xrightarrow{2.1} (q_2, [5.1]) \xrightarrow{r} (q_0, [0]) \dots$

Mot temporisé : $(p, 8.3)(e, 11.3)(r, 13.4) \dots$

Etiquetage : ok, fault, alarm, ok...

Exemple 2 : automates temporisés

Une variante de [Alur et Dill 1990]



Configurations : (q, v)
 v valeur de x satisfaisant
l'invariant

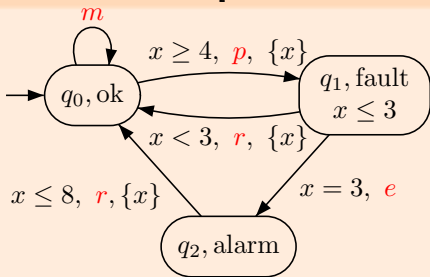
Une exécution : $(q_0, [0]) \xrightarrow{8.3} (q_0, [8.3]) \xrightarrow{p} (q_1, [0]) \xrightarrow{3} (q_1, [3]) \xrightarrow{e} (q_2, [3]) \xrightarrow{2.1} (q_2, [5.1]) \xrightarrow{r} (q_0, [0]) \dots$

Mot temporisé : $(p, 8.3)(e, 11.3)(r, 13.4) \dots$

Etiquetage : ok, fault, alarm, ok...

Exemple 2 : automates temporisés

Une variante de [Alur et Dill 1990]



Configurations : (q, v)
 v valeur de x satisfaisant
l'invariant

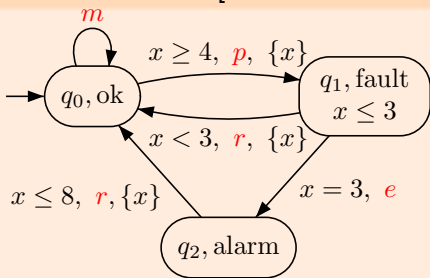
Une exécution : $(q_0, [0]) \xrightarrow{8.3} (q_0, [8.3]) \xrightarrow{p} (q_1, [0]) \xrightarrow{3} (q_1, [3]) \xrightarrow{e} (q_2, [3]) \xrightarrow{2.1} (q_2, [5.1]) \xrightarrow{r} (q_0, [0]) \dots$

Mot temporisé : $(p, 8.3)(e, 11.3)(r, 13.4) \dots$

Etiquetage : ok, fault, alarm, ok...

Exemple 2 : automates temporisés

Une variante de [Alur et Dill 1990]



Configurations : (q, v)
 v valeur de x satisfaisant
l'invariant

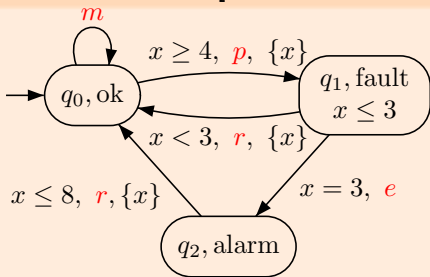
Une exécution : $(q_0, [0]) \xrightarrow{8.3} (q_0, [8.3]) \xrightarrow{p} (q_1, [0]) \xrightarrow{3} (q_1, [3]) \xrightarrow{e} (q_2, [3]) \xrightarrow{2.1} (q_2, [5.1]) \xrightarrow{r} (q_0, [0]) \dots$

Mot temporisé : $(p, 8.3)(e, 11.3)(r, 13.4) \dots$

Etiquetage : ok, fault, alarm, ok...

Exemple 2 : automates temporisés

Une variante de [Alur et Dill 1990]



Configurations : (q, v)
 v valeur de x satisfaisant
l'invariant

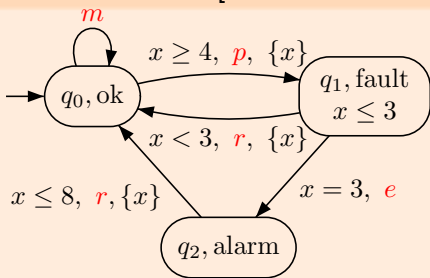
Une exécution : $(q_0, [0]) \xrightarrow{8.3} (q_0, [8.3]) \xrightarrow{p} (q_1, [0]) \xrightarrow{3} (q_1, [3]) \xrightarrow{e} (q_2, [3]) \xrightarrow{2.1} (q_2, [5.1]) \xrightarrow{r} (q_0, [0]) \dots$

Mot temporisé : $(p, 8.3)(e, 11.3)(r, 13.4) \dots$

Etiquetage : ok, fault, alarm, ok...

Exemple 2 : automates temporisés

Une variante de [Alur et Dill 1990]



Configurations : (q, v)
 v valeur de x satisfaisant
l'invariant

Une exécution : $(q_0, [0]) \xrightarrow{8.3} (q_0, [8.3]) \xrightarrow{p} (q_1, [0]) \xrightarrow{3} (q_1, [3]) \xrightarrow{e} (q_2, [3]) \xrightarrow{2.1} (q_2, [5.1]) \xrightarrow{r} (q_0, [0]) \dots$

Mot temporisé : $(p, 8.3)(e, 11.3)(r, 13.4) \dots$

Etiquetage : ok, fault, alarm, ok...

Sémantique d'un automate temporisé (1)

Opérations sur les valuations

X ensemble d'horloges. Pour une valuation v :

- ▶ pour un sous-ensemble r de X , on obtient $v[r \mapsto 0]$ en remettant à 0 les horloges de r et en conservant les autres valeurs,
- ▶ pour une durée d , on obtient $v + d$ en ajoutant d à toutes les valeurs d'horloges.

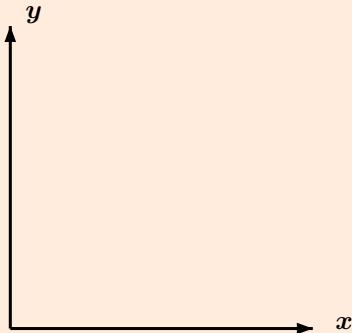
Sémantique d'un automate temporisé (1)

Opérations sur les valuations

X ensemble d'horloges. Pour une valuation v :

- ▶ pour un sous-ensemble r de X , on obtient $v[r \mapsto 0]$ en remettant à 0 les horloges de r et en conservant les autres valeurs,
- ▶ pour une durée d , on obtient $v + d$ en ajoutant d à toutes les valeurs d'horloges.

Vue géométrique avec deux horloges x et y



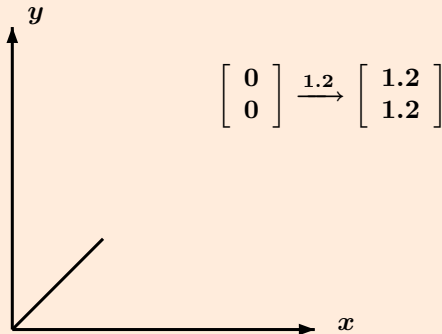
Sémantique d'un automate temporisé (1)

Opérations sur les valuations

X ensemble d'horloges. Pour une valuation v :

- ▶ pour un sous-ensemble r de X , on obtient $v[r \mapsto 0]$ en remettant à 0 les horloges de r et en conservant les autres valeurs,
- ▶ pour une durée d , on obtient $v + d$ en ajoutant d à toutes les valeurs d'horloges.

Vue géométrique avec deux horloges x et y



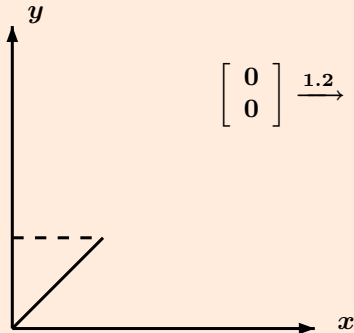
Sémantique d'un automate temporisé (1)

Opérations sur les valuations

X ensemble d'horloges. Pour une valuation v :

- ▶ pour un sous-ensemble r de X , on obtient $v[r \mapsto 0]$ en remettant à 0 les horloges de r et en conservant les autres valeurs,
- ▶ pour une durée d , on obtient $v + d$ en ajoutant d à toutes les valeurs d'horloges.

Vue géométrique avec deux horloges x et y



$$\begin{bmatrix} 0 \\ 0 \end{bmatrix} \xrightarrow{1.2} \begin{bmatrix} 1.2 \\ 1.2 \end{bmatrix} \xrightarrow{x:=0} \begin{bmatrix} 0 \\ 1.2 \end{bmatrix}$$

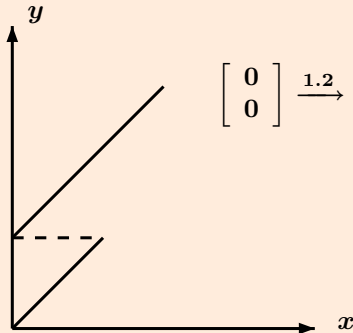
Sémantique d'un automate temporisé (1)

Opérations sur les valuations

X ensemble d'horloges. Pour une valuation v :

- ▶ pour un sous-ensemble r de X , on obtient $v[r \mapsto 0]$ en remettant à 0 les horloges de r et en conservant les autres valeurs,
- ▶ pour une durée d , on obtient $v + d$ en ajoutant d à toutes les valeurs d'horloges.

Vue géométrique avec deux horloges x et y



$$\begin{bmatrix} 0 \\ 0 \end{bmatrix} \xrightarrow{1.2} \begin{bmatrix} 1.2 \\ 1.2 \end{bmatrix} \xrightarrow{x:=0} \begin{bmatrix} 0 \\ 1.2 \end{bmatrix} \xrightarrow{2} \begin{bmatrix} 2 \\ 3.2 \end{bmatrix}$$

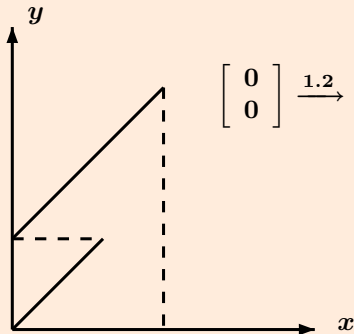
Sémantique d'un automate temporisé (1)

Opérations sur les valuations

X ensemble d'horloges. Pour une valuation v :

- ▶ pour un sous-ensemble r de X , on obtient $v[r \mapsto 0]$ en remettant à 0 les horloges de r et en conservant les autres valeurs,
- ▶ pour une durée d , on obtient $v + d$ en ajoutant d à toutes les valeurs d'horloges.

Vue géométrique avec deux horloges x et y



$$\begin{bmatrix} 0 \\ 0 \end{bmatrix} \xrightarrow{1.2} \begin{bmatrix} 1.2 \\ 1.2 \end{bmatrix} \xrightarrow{x:=0} \begin{bmatrix} 0 \\ 1.2 \end{bmatrix} \xrightarrow{2} \begin{bmatrix} 2 \\ 3.2 \end{bmatrix} \xrightarrow{y:=0} \begin{bmatrix} 2 \\ 0 \end{bmatrix}$$

Sémantique d'un automate temporisé (2)

Définition

Pour un automate temporisé $\mathcal{A} = (Q, q_0, \ell, Inv, \Delta)$, le système de transitions est $\mathcal{T} = (S, s_0, L, E)$ avec :

- ▶ ensemble de configurations $S = \{(q, v) \in Q \times \mathbb{R}_{\geq 0} \mid v \models Inv(q)\}$,
- ▶ configuration initiale $s_0 = (q_0, \mathbf{0})$,
- ▶ étiquetage $L(q, v) = \ell(q)$
- ▶ transitions

d'action $(q, v) \xrightarrow{a} (q', v')$, s'il existe une transition $q \xrightarrow{g, a, r} q'$ de l'automate telle que $v \models g$ et $v' \models Inv(q')$, avec $v' = v[r \mapsto 0]$,

de durée $(q, v) \xrightarrow{d} (q, v + d)$ si $v + d \models Inv(q)$.

Sémantique d'un automate temporisé (2)

Définition

Pour un automate temporisé $\mathcal{A} = (Q, q_0, \ell, Inv, \Delta)$, le système de transitions est $\mathcal{T} = (S, s_0, L, E)$ avec :

- ▶ ensemble de configurations $S = \{(q, v) \in Q \times \mathbb{R}_{\geq 0} \mid v \models Inv(q)\}$,
- ▶ configuration initiale $s_0 = (q_0, \mathbf{0})$,
- ▶ étiquetage $L(q, v) = \ell(q)$
- ▶ transitions

d'action $(q, v) \xrightarrow{a} (q', v')$, s'il existe une transition $q \xrightarrow{g, a, r} q'$ de l'automate telle que $v \models g$ et $v' \models Inv(q')$, avec $v' = v[r \mapsto 0]$,

de durée $(q, v) \xrightarrow{d} (q, v + d)$ si $v + d \models Inv(q)$.

Sémantique d'un automate temporisé (2)

Définition

Pour un automate temporisé $\mathcal{A} = (Q, q_0, \ell, Inv, \Delta)$, le système de transitions est $\mathcal{T} = (S, s_0, L, E)$ avec :

- ▶ ensemble de configurations $S = \{(q, v) \in Q \times \mathbb{R}_{\geq 0} \mid v \models Inv(q)\}$,
- ▶ configuration initiale $s_0 = (q_0, \mathbf{0})$,
- ▶ étiquetage $L(q, v) = \ell(q)$
- ▶ transitions

d'action $(q, v) \xrightarrow{a} (q', v')$, s'il existe une transition $q \xrightarrow{g, a, r} q'$ de l'automate telle que $v \models g$ et $v' \models Inv(q')$, avec $v' = v[r \mapsto 0]$,

de durée $(q, v) \xrightarrow{d} (q, v + d)$ si $v + d \models Inv(q)$.

Plan

Modèles temporisés

Logiques temporisées

Model-checking

Conclusion

Exemple : temps de réponse

Logiques temporelles

Tout signal est suivi d'une réponse

en CTL : $AG(\text{signal} \Rightarrow AF \text{ reponse})$

en LTL : $G(\text{signal} \Rightarrow F \text{ reponse})$

CTL et LTL, deux sous-classes incomparables de CTL*

Logiques temporisées

Tout signal est suivi d'une réponse en moins de 5 unités de temps

Comment étendre les modalités des logiques temporelles avec un temps explicite ?

Exemple : temps de réponse

Logiques temporelles

Tout signal est suivi d'une réponse

en CTL : $AG(\text{signal} \Rightarrow AF \text{ reponse})$

en LTL : $G(\text{signal} \Rightarrow F \text{ reponse})$

CTL et LTL, deux sous-classes incomparables de CTL*

Logiques temporisées

Tout signal est suivi d'une réponse en moins de 5 unités de temps

Comment étendre les modalités des logiques temporelles avec un temps explicite ?

Exemple : temps de réponse

Logiques temporelles

Tout signal est suivi d'une réponse

en CTL : $AG(\text{signal} \Rightarrow AF \text{ reponse})$

en LTL : $G(\text{signal} \Rightarrow F \text{ reponse})$

CTL et LTL, deux sous-classes incomparables de CTL*

Logiques temporisées

Tout signal est suivi d'une réponse en moins de 5 unités de temps

Comment étendre les modalités des logiques temporelles avec un temps explicite ?

Exemple : temps de réponse

Logiques temporelles

Tout signal est suivi d'une réponse

en CTL : $AG(\text{signal} \Rightarrow AF \text{ reponse})$

en LTL : $G(\text{signal} \Rightarrow F \text{ reponse})$

CTL et LTL, deux sous-classes incomparables de CTL*

Logiques temporisées

Tout signal est suivi d'une réponse en moins de 5 unités de temps

Comment étendre les modalités des logiques temporelles avec un temps explicite ?

Exemple : temps de réponse

Logiques temporelles

Tout signal est suivi d'une réponse

en CTL : $AG(\text{signal} \Rightarrow AF \text{ reponse})$

en LTL : $G(\text{signal} \Rightarrow F \text{ reponse})$

CTL et LTL, deux sous-classes incomparables de CTL*

Logiques temporisées

Tout signal est suivi d'une réponse en moins de 5 unités de temps

Comment étendre les modalités des logiques temporelles avec un temps explicite ?

Exemple : temps de réponse

Logiques temporelles

Tout signal est suivi d'une réponse

en CTL : $AG(\text{signal} \Rightarrow AF \text{ reponse})$

en LTL : $G(\text{signal} \Rightarrow F \text{ reponse})$

CTL et LTL, deux sous-classes incomparables de CTL*

Logiques temporisées

Tout signal est suivi d'une réponse en moins de 5 unités de temps

Comment étendre les modalités des logiques temporelles avec un temps explicite ?

CTL

Syntaxe de CTL

$$\varphi, \psi ::= P \mid \neg\varphi \mid EX\varphi \mid AX\varphi \mid \varphi \wedge \psi \mid E\varphi U\psi \mid A\varphi U\psi$$

où P est une proposition atomique dans Prop.

Interprétation : sur les états d'une structure de Kripke

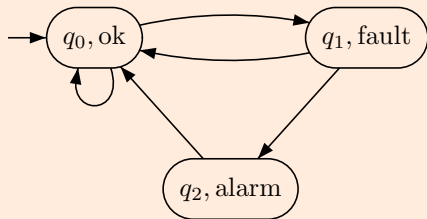
CTL

Syntaxe de CTL

$$\varphi, \psi ::= P \mid \neg\varphi \mid EX\varphi \mid AX\varphi \mid \varphi \wedge \psi \mid E\varphi U\psi \mid A\varphi U\psi$$

où P est une proposition atomique dans Prop.

Interprétation : sur les états d'une structure de Kripke



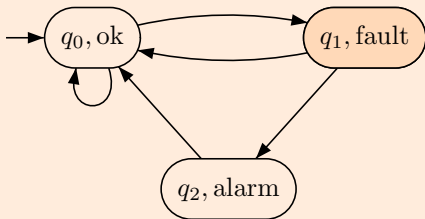
CTL

Syntaxe de CTL

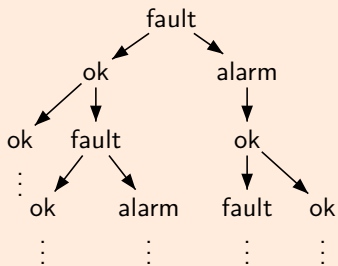
$$\varphi, \psi ::= P \mid \neg\varphi \mid EX\varphi \mid AX\varphi \mid \varphi \wedge \psi \mid E\varphi U\psi \mid A\varphi U\psi$$

où P est une proposition atomique dans Prop.

Interprétation : sur les états d'une structure de Kripke



avec un arbre d'exécution



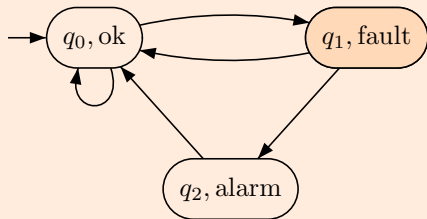
CTL

Syntaxe de CTL

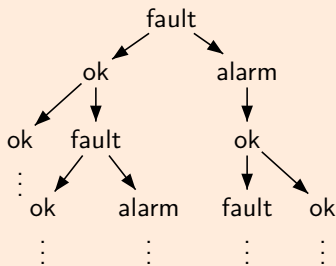
$$\varphi, \psi ::= P \mid \neg\varphi \mid EX\varphi \mid AX\varphi \mid \varphi \wedge \psi \mid E\varphi U\psi \mid A\varphi U\psi$$

où P est une proposition atomique dans Prop.

Interprétation : sur les états d'une structure de Kripke



avec un arbre d'exécution



E : il existe un chemin

X : position suivante (next)

$$q_1 \models EXok$$

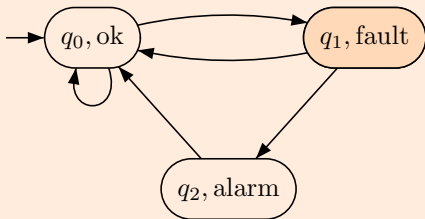
CTL

Syntaxe de CTL

$$\varphi, \psi ::= P \mid \neg\varphi \mid EX\varphi \mid AX\varphi \mid \varphi \wedge \psi \mid E\varphi U\psi \mid A\varphi U\psi$$

où P est une proposition atomique dans Prop.

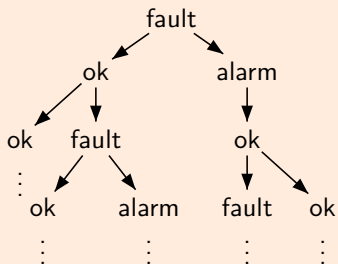
Interprétation : sur les états d'une structure de Kripke



A : pour tout chemin

$\varphi U\psi$: until

avec un arbre d'exécution



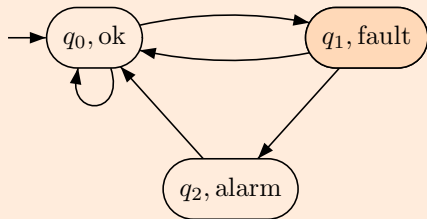
CTL

Syntaxe de CTL

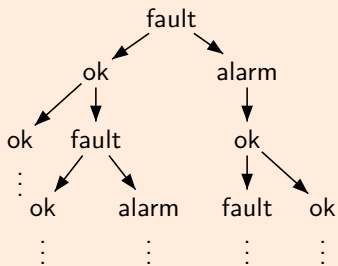
$$\varphi, \psi ::= P \mid \neg\varphi \mid EX\varphi \mid AX\varphi \mid \varphi \wedge \psi \mid E\varphi U\psi \mid A\varphi U\psi$$

où P est une proposition atomique dans Prop.

Interprétation : sur les états d'une structure de Kripke



avec un arbre d'exécution



Abréviations :

$AF\psi$ pour A true $U\psi$

$q_1 \models AFok$

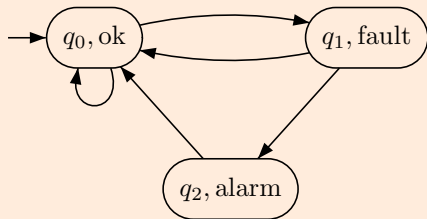
CTL

Syntaxe de CTL

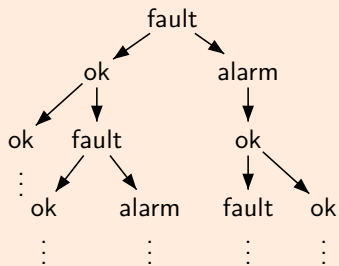
$$\varphi, \psi ::= P \mid \neg\varphi \mid EX\varphi \mid AX\varphi \mid \varphi \wedge \psi \mid E\varphi U\psi \mid A\varphi U\psi$$

où P est une proposition atomique dans Prop.

Interprétation : sur les états d'une structure de Kripke



avec un arbre d'exécution



Abréviations :

$EF\psi$ pour $E \text{ true } U\psi$

$AG\psi$ pour $\neg EF(\neg\varphi)$

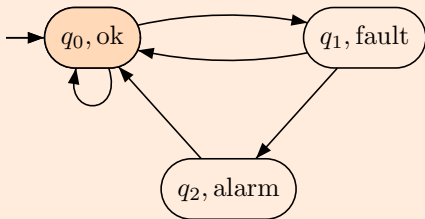
CTL

Syntaxe de CTL

$$\varphi, \psi ::= P \mid \neg\varphi \mid EX\varphi \mid AX\varphi \mid \varphi \wedge \psi \mid E\varphi U\psi \mid A\varphi U\psi$$

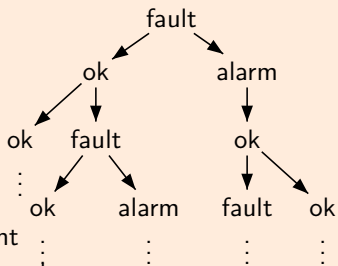
où P est une proposition atomique dans Prop.

Interprétation : sur les états d'une structure de Kripke


$$q_0 \models AG(AFok)$$

de tout état, sur tout chemin partant
de cet état, il est possible d'atteindre ok

avec un arbre d'exécution



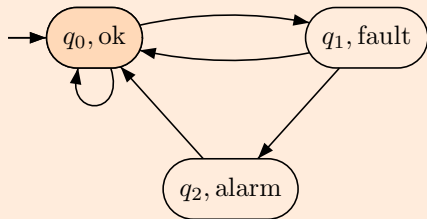
CTL

Syntaxe de CTL

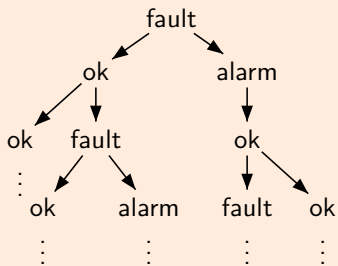
$$\varphi, \psi ::= P \mid \neg\varphi \mid EX\varphi \mid AX\varphi \mid \varphi \wedge \psi \mid E\varphi U\psi \mid A\varphi U\psi$$

où P est une proposition atomique dans Prop.

Interprétation : sur les états d'une structure de Kripke


$$\mathcal{K} \models AG(AFok)$$

avec un arbre d'exécution



CTL+temps : TCTL

Syntaxe de TCTL [Alur - Henzinger 1991]

$$\varphi, \psi ::= P \mid \neg\varphi \mid \varphi \wedge \psi \mid E\varphi U_{\bowtie c} \psi \mid A\varphi U_{\bowtie c} \psi$$

où P est une proposition atomique dans Prop, c est une constante dans \mathbb{N} et l'opérateur \bowtie est dans $\{<, >, \leq, \geq, =\}$.

Interprétation : sur des configurations d'un STT

CTL+temps : TCTL

Syntaxe de TCTL [Alur - Henzinger 1991]

$$\varphi, \psi ::= P \mid \neg\varphi \mid \varphi \wedge \psi \mid E\varphi U_{\bowtie c} \psi \mid A\varphi U_{\bowtie c} \psi$$

où P est une proposition atomique dans Prop, c est une constante dans \mathbb{N} et l'opérateur \bowtie est dans $\{<, >, \leq, \geq, =\}$.

Interprétation : sur des configurations d'un STT

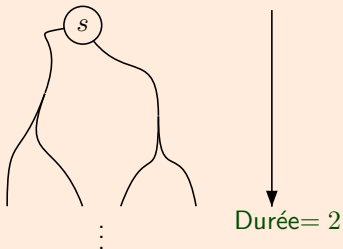
CTL+temps : TCTL

Syntaxe de TCTL [Alur - Henzinger 1991]

$$\varphi, \psi ::= P \mid \neg\varphi \mid \varphi \wedge \psi \mid E\varphi U_{\bowtie c} \psi \mid A\varphi U_{\bowtie c} \psi$$

où P est une proposition atomique dans Prop, c est une constante dans \mathbb{N} et l'opérateur \bowtie est dans $\{<, >, \leq, \geq, =\}$.

Interprétation : sur des configurations d'un STT



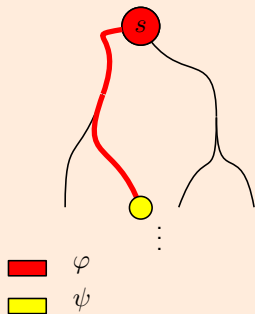
CTL+temps : TCTL

Syntaxe de TCTL [Alur - Henzinger 1991]

$$\varphi, \psi ::= P \mid \neg\varphi \mid \varphi \wedge \psi \mid E\varphi U_{\bowtie c} \psi \mid A\varphi U_{\bowtie c} \psi$$

où P est une proposition atomique dans Prop, c est une constante dans \mathbb{N} et l'opérateur \bowtie est dans $\{<, >, \leq, \geq, =\}$.

Interprétation : sur des configurations d'un STT



↓
Durée= 2

$$s \models E\varphi U_{\leq 2} \psi$$

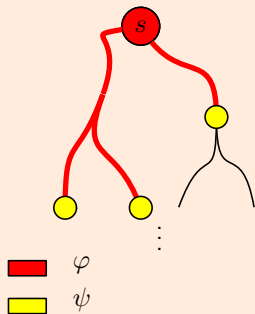
CTL+temps : TCTL

Syntaxe de TCTL [Alur - Henzinger 1991]

$$\varphi, \psi ::= P \mid \neg\varphi \mid \varphi \wedge \psi \mid E\varphi U_{\bowtie c} \psi \mid A\varphi U_{\bowtie c} \psi$$

où P est une proposition atomique dans Prop, c est une constante dans \mathbb{N} et l'opérateur \bowtie est dans $\{<, >, \leq, \geq, =\}$.

Interprétation : sur des configurations d'un STT



↓
Durée = 2

$$s \models A\varphi U_{\leq 2} \psi$$

CTL+temps : TCTL

Syntaxe de TCTL [Alur - Henzinger 1991]

$$\varphi, \psi ::= P \mid \neg\varphi \mid \varphi \wedge \psi \mid E\varphi U_{\bowtie c} \psi \mid A\varphi U_{\bowtie c} \psi$$

où P est une proposition atomique dans Prop , c est une constante dans \mathbb{N} et l'opérateur \bowtie est dans $\{<, >, \leq, \geq, =\}$.

Interprétation : sur des configurations de $\mathcal{T} = (S, s_0, L, E)$

$s \models E\varphi U_{\bowtie c} \psi$ s'il existe une exécution ρ partant de s telle que $\rho \models \varphi U_{\bowtie c} \psi$

$s \models A\varphi U_{\bowtie c} \psi$ si, pour toute exécution ρ partant de s , $\rho \models \varphi U_{\bowtie c} \psi$

avec

$\rho \models \varphi U_{\bowtie c} \psi$ s'il existe une position p de ρ telle que $\text{Dur}(\rho^{\leq p}) \bowtie c$, $s_p \models \psi$
et pour toute position $p' <_{\rho} p$, $s_{p'} \models \varphi$

TCTL

et temps de réponse

Tout signal est suivi d'une réponse en moins de 5 unités de temps :

$$AG(\text{signal} \Rightarrow AF_{\leq 5} \text{reponse})$$

et automates temporisés

$\mathcal{A} = (Q, q_0, \ell, Inv, \Delta)$ un automate temporisé,

$T = (S, s_0, L, E)$ le système de transitions associé avec :

- ▶ la configuration initiale $s_0 = (q_0, v_0)$ où $v_0 = \mathbf{0}$,
- ▶ des exécutions de la forme

$$(q_0, v_0) \xrightarrow{d_1} (q_0, v_0 + d_1) \xrightarrow{a_1} (q_1, v_1) \xrightarrow{d_2} (q_1, v_1 + d_2) \xrightarrow{a_2} (q_2, v_2) \cdots$$

Pour une formule φ de TCTL, $\mathcal{A} \models \varphi$ si $s_0 \models \varphi$.

TCTL

et temps de réponse

Tout signal est suivi d'une réponse en moins de 5 unités de temps :

$$AG(\text{signal} \Rightarrow AF_{\leq 5} \text{reponse})$$

et automates temporisés

$\mathcal{A} = (Q, q_0, \ell, Inv, \Delta)$ un automate temporisé,

$\mathcal{T} = (S, s_0, L, E)$ le système de transitions associé avec :

- ▶ la configuration initiale $s_0 = (q_0, v_0)$ où $v_0 = \mathbf{0}$,
- ▶ des exécutions de la forme

$$(q_0, v_0) \xrightarrow{d_1} (q_0, v_0 + d_1) \xrightarrow{a_1} (q_1, v_1) \xrightarrow{d_2} (q_1, v_1 + d_2) \xrightarrow{a_2} (q_2, v_2) \cdots$$

Pour une formule φ de TCTL, $\mathcal{A} \models \varphi$ si $s_0 \models \varphi$.

TCTL

et temps de réponse

Tout signal est suivi d'une réponse en moins de 5 unités de temps :

$$AG(\text{signal} \Rightarrow AF_{\leq 5} \text{reponse})$$

et automates temporisés

$\mathcal{A} = (Q, q_0, \ell, Inv, \Delta)$ un automate temporisé,

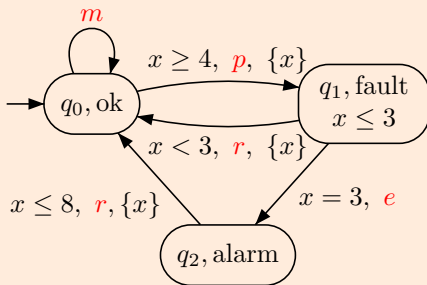
$T = (S, s_0, L, E)$ le système de transitions associé avec :

- ▶ la configuration initiale $s_0 = (q_0, v_0)$ où $v_0 = \mathbf{0}$,
- ▶ des exécutions de la forme

$$(q_0, v_0) \xrightarrow{d_1} (q_0, v_0 + d_1) \xrightarrow{a_1} (q_1, v_1) \xrightarrow{d_2} (q_1, v_1 + d_2) \xrightarrow{a_2} (q_2, v_2) \cdots$$

Pour une formule φ de TCTL, $\mathcal{A} \models \varphi$ si $s_0 \models \varphi$.

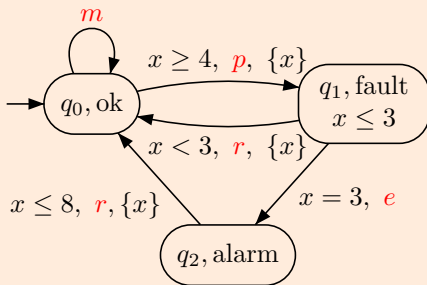
Exemple



satisfait

$AG(\text{fault} \Rightarrow AF_{\leq 8} \text{ok})$

Exemple



satisfait

$AG(\text{fault} \Rightarrow AF_{\leq 8} \text{ok})$

D'autres logiques

du temps arborescent

- ▶ Extension de TCTL avec horloges

$$AG(\text{signal} \Rightarrow z \cdot AF(z \leq 5 \wedge \text{reponse}))$$

z horloge de formule remise à zéro par " $z \cdot$ "

- ▶ Logique T_μ , avec par exemple l'opérateur \triangleright , "until en un pas"

$$z \cdot (\text{true} \triangleright (P \wedge z \leq 5))$$

P deviendra vraie en une seule transition, exécutée avant 5 unités de temps.

- ▶ etc.

D'autres logiques

du temps arborescent

- ▶ Extension de TCTL avec horloges

$$AG(\text{signal} \Rightarrow z \cdot AF(z \leq 5 \wedge \text{reponse}))$$

z horloge de formule remise à zéro par “ $z \cdot$ ”

- ▶ Logique T_μ , avec par exemple l'opérateur \triangleright , “until en un pas”

$$z \cdot (\text{true} \triangleright (P \wedge z \leq 5))$$

P deviendra vraie en une seule transition, exécutée avant 5 unités de temps.

- ▶ etc.

D'autres logiques

du temps arborescent

- ▶ Extension de TCTL avec horloges

$$AG(\text{signal} \Rightarrow z \cdot AF(z \leq 5 \wedge \text{reponse}))$$

z horloge de formule remise à zéro par “ $z \cdot$ ”

- ▶ Logique T_μ , avec par exemple l'opérateur \triangleright , “until en un pas”

$$z \cdot (\text{true} \triangleright (P \wedge z \leq 5))$$

P deviendra vraie en une seule transition, exécutée avant 5 unités de temps.

- ▶ etc.

LTL

Syntaxe de LTL

$$\varphi, \psi ::= P \mid \neg\varphi \mid \varphi \wedge \psi \mid X\varphi \mid \varphi U \psi$$

où P est une proposition atomique dans Prop.

Interprétation : pour une structure de Kripke
sur une position le long d'une exécution

LTL

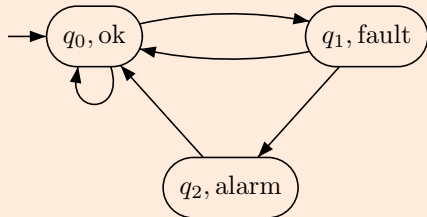
Syntaxe de LTL

$$\varphi, \psi ::= P \mid \neg\varphi \mid \varphi \wedge \psi \mid X\varphi \mid \varphi U\psi$$

où P est une proposition atomique dans Prop.

Interprétation : pour une structure de Kripke

sur une position le long d'une exécution



LTL

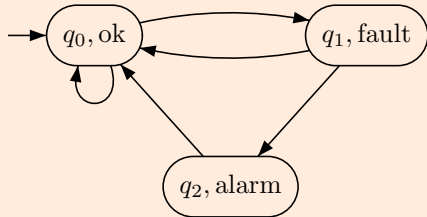
Syntaxe de LTL

$$\varphi, \psi ::= P \mid \neg\varphi \mid \varphi \wedge \psi \mid X\varphi \mid \varphi U \psi$$

où P est une proposition atomique dans Prop.

Interprétation : pour une structure de Kripke

sur une position le long d'une exécution



$$\sigma : q_0, q_0, q_1, q_0, q_1, q_2, q_0, \dots$$

$$\sigma, 2 \models \text{fault} \wedge X \text{ok}$$

$$\sigma, 4 \models F \text{ok}$$

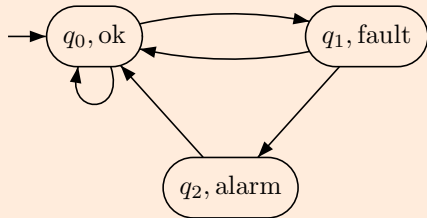
Syntaxe de LTL

$$\varphi, \psi ::= P \mid \neg\varphi \mid \varphi \wedge \psi \mid X\varphi \mid \varphi U\psi$$

où P est une proposition atomique dans Prop.

Interprétation : pour une structure de Kripke

sur une position le long d'une exécution



$$\sigma : q_0, q_0, q_1, q_0, q_1, q_2, q_0, \dots$$

$$\sigma, 2 \models \text{fault} \wedge X \text{ok}$$

$$\sigma, 4 \models F \text{ok}$$

$$\sigma, 0 \models GF \text{ok}$$

$$\mathcal{K} \models GF \text{ok}$$

pour toute exécution σ de \mathcal{K} , $\sigma, 0 \models GF \text{ok}$

LTL+temps : MTL

Syntaxe de MTL [Koymans 1990]

$$\varphi, \psi ::= P \mid \neg\varphi \mid \varphi \wedge \psi \mid \varphi \mathbf{U}_I \psi$$

où P est une proposition atomique et I un intervalle.

MITL : restriction à des intervalles non réduits à un point

Sémantique

Une formule s'interprète sur une exécution $s \xrightarrow{d_1} s'_1 \xrightarrow{a_1} s_2 \xrightarrow{d_2} s'_2 \xrightarrow{a_2} s_3 \cdots$ partant d'une configuration quelconque s d'un système de transition temporisé.

Pour une formule φ de TCTL, et pour un automate temporisé $\mathcal{A} = (Q, q_0, \ell, Inv, \Delta)$, avec le système de transitions temporisé associé $\mathcal{T} = (S, s_0, L, E)$:

$\mathcal{A} \models \varphi$ si toute exécution partant de la configuration initiale $s_0 = (q_0, v_0)$ avec $v_0 = \mathbf{0}$ satisfait φ .

Temps de réponse

$G(\text{signal} \Rightarrow F_{[0,5]} \text{reponse})$

LTL+temps : MTL

Syntaxe de MTL [Koymans 1990]

$$\varphi, \psi ::= P \mid \neg\varphi \mid \varphi \wedge \psi \mid \varphi \mathbf{U}_I \psi$$

où P est une proposition atomique et I un intervalle.

MITL : restriction à des intervalles non réduits à un point

Sémantique

Une formule s'interprète sur une exécution $s \xrightarrow{d_1} s'_1 \xrightarrow{a_1} s_2 \xrightarrow{d_2} s'_2 \xrightarrow{a_2} s_3 \cdots$ partant d'une configuration quelconque s d'un système de transition temporisé.

Pour une formule φ de TCTL, et pour un automate temporisé $\mathcal{A} = (Q, q_0, \ell, Inv, \Delta)$, avec le système de transitions temporisé associé $\mathcal{T} = (S, s_0, L, E)$:

$\mathcal{A} \models \varphi$ si toute exécution partant de la configuration initiale $s_0 = (q_0, v_0)$ avec $v_0 = \mathbf{0}$ satisfait φ .

Temps de réponse

$G(\text{signal} \Rightarrow F_{[0,5]} \text{reponse})$

LTL+temps : MTL

Syntaxe de MTL [Koymans 1990]

$$\varphi, \psi ::= P \mid \neg\varphi \mid \varphi \wedge \psi \mid \varphi \mathbf{U}_I \psi$$

où P est une proposition atomique et I un intervalle.

MITL : restriction à des intervalles non réduits à un point

Sémantique

Une formule s'interprète sur une exécution $s \xrightarrow{d_1} s'_1 \xrightarrow{a_1} s_2 \xrightarrow{d_2} s'_2 \xrightarrow{a_2} s_3 \cdots$ partant d'une configuration quelconque s d'un système de transition temporisé.

Pour une formule φ de TCTL, et pour un automate temporisé $\mathcal{A} = (Q, q_0, \ell, Inv, \Delta)$, avec le système de transitions temporisé associé $\mathcal{T} = (S, s_0, L, E)$:

$\mathcal{A} \models \varphi$ si toute exécution partant de la configuration initiale $s_0 = (q_0, v_0)$ avec $v_0 = \mathbf{0}$ satisfait φ .

Temps de réponse

$G(\text{signal} \Rightarrow F_{[0,5]} \text{reponse})$

LTL+temps : MTL

Syntaxe de MTL [Koymans 1990]

$$\varphi, \psi ::= P \mid \neg\varphi \mid \varphi \wedge \psi \mid \varphi \mathbf{U}_I \psi$$

où P est une proposition atomique et I un intervalle.

MITL : restriction à des intervalles non réduits à un point

Sémantique

Une formule s'interprète sur une exécution $s \xrightarrow{d_1} s'_1 \xrightarrow{a_1} s_2 \xrightarrow{d_2} s'_2 \xrightarrow{a_2} s_3 \cdots$ partant d'une configuration quelconque s d'un système de transition temporisé.

Pour une formule φ de TCTL, et pour un automate temporisé $\mathcal{A} = (Q, q_0, \ell, Inv, \Delta)$, avec le système de transitions temporisé associé $\mathcal{T} = (S, s_0, L, E)$:

$$\mathcal{A} \models \varphi \quad \text{si toute exécution partant de la configuration initiale } s_0 = (q_0, v_0) \text{ avec } v_0 = \mathbf{0} \text{ satisfait } \varphi.$$

Temps de réponse

$$G(\text{signal} \Rightarrow F_{[0,5]} \text{reponse})$$

LTL+temps : MTL

Syntaxe de MTL [Koymans 1990]

$$\varphi, \psi ::= P \mid \neg\varphi \mid \varphi \wedge \psi \mid \varphi \mathbf{U}_I \psi$$

où P est une proposition atomique et I un intervalle.

MITL : restriction à des intervalles non réduits à un point

Sémantique

Une formule s'interprète sur une exécution $s \xrightarrow{d_1} s'_1 \xrightarrow{a_1} s_2 \xrightarrow{d_2} s'_2 \xrightarrow{a_2} s_3 \cdots$ partant d'une configuration quelconque s d'un système de transition temporisé.

Pour une formule φ de TCTL, et pour un automate temporisé $\mathcal{A} = (Q, q_0, \ell, Inv, \Delta)$, avec le système de transitions temporisé associé $\mathcal{T} = (S, s_0, L, E)$:

$$\mathcal{A} \models \varphi \quad \text{si toute exécution partant de la configuration initiale } s_0 = (q_0, v_0) \text{ avec } v_0 = \mathbf{0} \text{ satisfait } \varphi.$$

Temps de réponse

$$G(\text{signal} \Rightarrow F_{[0,5]} \text{reponse})$$

D'autres logiques

du temps linéaire

- ▶ TPTL, extension de LTL avec horloges

$$Gx \cdot (\text{signal} \Rightarrow Fy \cdot (\text{reponse} \wedge y \leq x + 5))$$

x et y horloges de formule, "gelées" par " $x \cdot$ " et " $y \cdot$ "

- ▶ Variantes avec temps discret ou interprétation sur des séquences discrètes
- ▶ etc.

D'autres logiques

du temps linéaire

- ▶ TPTL, extension de LTL avec horloges

$$Gx \cdot (\text{signal} \Rightarrow Fy \cdot (\text{reponse} \wedge y \leq x + 5))$$

x et y horloges de formule, "gelées" par " $x \cdot$ " et " $y \cdot$ "

- ▶ Variantes avec temps discret ou interprétation sur des séquences discrètes
- ▶ etc.

D'autres logiques

du temps linéaire

- ▶ TPTL, extension de LTL avec horloges

$$Gx \cdot (\text{signal} \Rightarrow Fy \cdot (\text{reponse} \wedge y \leq x + 5))$$

x et y horloges de formule, "gelées" par " $x \cdot$ " et " $y \cdot$ "

- ▶ Variantes avec temps discret ou interprétation sur des séquences discrètes
- ▶ etc.

Plan

Modèles temporisés

Logiques temporisées

Model-checking

Conclusion

Model-checking de LTL

Théorème [Sistla et Clarke 1985, Lichtenstein et al. 1985]

Le problème du model-checking pour LTL sur des structures de Kripke est PSPACE-complet.

Procédure de décision

Données : une formule φ de LTL et une structure de Kripke \mathcal{K}

1. Construction d'un automate (de Büchi) $\mathcal{A}_{\neg\varphi}$ dont les exécutions sont exactement les séquences d'étiquettes satisfaisant la formule $\neg\varphi$.
2. Construction de l'automate $\mathcal{H} = \mathcal{K} \otimes \mathcal{A}_{\neg\varphi}$ acceptant exactement les exécutions communes à \mathcal{K} et $\mathcal{A}_{\neg\varphi}$ (intersection).
3. Test du vide pour \mathcal{H} .

Difficulté : construire l'automate \mathcal{A}_{φ} caractérisant φ

Model-checking de LTL

Théorème [Sistla et Clarke 1985, Lichtenstein et al. 1985]

Le problème du model-checking pour LTL sur des structures de Kripke est PSPACE-complet.

Procédure de décision

Données : une formule φ de LTL et une structure de Kripke \mathcal{K}

1. Construction d'un automate (de Büchi) $\mathcal{A}_{\neg\varphi}$ dont les exécutions sont exactement les séquences d'étiquettes satisfaisant la formule $\neg\varphi$.
2. Construction de l'automate $\mathcal{H} = \mathcal{K} \otimes \mathcal{A}_{\neg\varphi}$ acceptant exactement les exécutions communes à \mathcal{K} et $\mathcal{A}_{\neg\varphi}$ (intersection).
3. Test du vide pour \mathcal{H} .

Difficulté : construire l'automate \mathcal{A}_{φ} caractérisant φ

Model-checking de LTL

Théorème [Sistla et Clarke 1985, Lichtenstein et al. 1985]

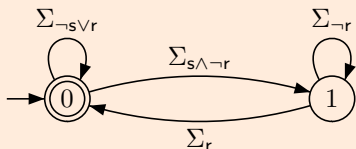
Le problème du model-checking pour LTL sur des structures de Kripke est PSPACE-complet.

Procédure de décision

Données : une formule φ de LTL et une structure de Kripke \mathcal{K}

1. Construction d'un automate (de Büchi) $\mathcal{A}_{\neg\varphi}$ dont les exécutions sont exactement les séquences d'étiquettes satisfaisant la formule $\neg\varphi$.
2. Construction de l'automate $\mathcal{H} = \mathcal{K} \otimes \mathcal{A}_{\neg\varphi}$ acceptant exactement les exécutions communes à \mathcal{K} et $\mathcal{A}_{\neg\varphi}$ (intersection).
3. Test du vide pour \mathcal{H} .

Difficulté : construire l'automate \mathcal{A}_{φ} caractérisant φ



$$\Sigma = 2^{\text{Prop}}$$

$$\Sigma_r = \{\alpha \in \Sigma \mid r \in \alpha\}$$

$$\Sigma_{\neg r} = \Sigma \setminus \Sigma_r, \text{ etc.}$$

Model-checking de LTL

Theorème [Sistla et Clarke 1985, Lichtenstein et al. 1985]

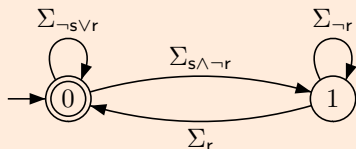
Le problème du model-checking pour LTL sur des structures de Kripke est PSPACE-complet.

Procédure de décision

Données : une formule φ de LTL et une structure de Kripke \mathcal{K}

1. Construction d'un automate (de Büchi) $\mathcal{A}_{\neg\varphi}$ dont les exécutions sont exactement les séquences d'étiquettes satisfaisant la formule $\neg\varphi$.
2. Construction de l'automate $\mathcal{H} = \mathcal{K} \otimes \mathcal{A}_{\neg\varphi}$ acceptant exactement les exécutions communes à \mathcal{K} et $\mathcal{A}_{\neg\varphi}$ (intersection).
3. Test du vide pour \mathcal{H} .

Difficulté : construire l'automate \mathcal{A}_{φ} caractérisant φ



pour la formule du temps de réponse :

$$G(s \Rightarrow F r)$$

Model-checking de LTL

Théorème [Sistla et Clarke 1985, Lichtenstein et al. 1985]

Le problème du model-checking pour LTL sur des structures de Kripke est PSPACE-complet.

Procédure de décision

Données : une formule φ de LTL et une structure de Kripke \mathcal{K}

1. Construction d'un automate (de Büchi) $\mathcal{A}_{\neg\varphi}$ dont les exécutions sont exactement les séquences d'étiquettes satisfaisant la formule $\neg\varphi$.
2. Construction de l'automate $\mathcal{H} = \mathcal{K} \otimes \mathcal{A}_{\neg\varphi}$ acceptant exactement les exécutions communes à \mathcal{K} et $\mathcal{A}_{\neg\varphi}$ (intersection).
3. Test du vide pour \mathcal{H} .

Difficulté : construire l'automate \mathcal{A}_{φ} caractérisant φ

Pire cas : $O(2^{|\varphi|})$

Model-checking de MTL et MITL

Theorèmes

- ▶ Le problème du model-checking pour MTL sur des automates temporisés est indécidable [Henzinger 1991].
- ▶ Le problème du model-checking pour MITL sur des automates temporisés est EXPSPACE-complet [Alur et al. 1996].

Procédure de décision pour MITL

Données : une formule φ de MITL et un automate temporisé \mathcal{A}

1. Construction d'un automate temporisé $\mathcal{A}_{\neg\varphi}$ dont les exécutions sont exactement celles qui satisfont la formule $\neg\varphi$.
2. Construction de l'automate temporisé $\mathcal{B} = \mathcal{A} \otimes \mathcal{A}_{\neg\varphi}$ acceptant les exécutions communes à \mathcal{A} et $\mathcal{A}_{\neg\varphi}$.
3. Test du vide pour \mathcal{B} .

Remarque

Les points 1 et 3 sont plus difficiles pour des automates temporisés.

Model-checking de MTL et MITL

Theorèmes

- ▶ Le problème du model-checking pour MTL sur des automates temporisés est indécidable [Henzinger 1991].
- ▶ Le problème du model-checking pour MITL sur des automates temporisés est EXPSPACE-complet [Alur et al. 1996].

Procédure de décision pour MITL

Données : une formule φ de MITL et un automate temporisé \mathcal{A}

1. Construction d'un automate temporisé $\mathcal{A}_{\neg\varphi}$ dont les exécutions sont exactement celles qui satisfont la formule $\neg\varphi$.
2. Construction de l'automate temporisé $\mathcal{B} = \mathcal{A} \otimes \mathcal{A}_{\neg\varphi}$ acceptant les exécutions communes à \mathcal{A} et $\mathcal{A}_{\neg\varphi}$.
3. Test du vide pour \mathcal{B} .

Remarque

Les points 1 et 3 sont plus difficiles pour des automates temporisés.

Model-checking de MTL et MITL

Theorèmes

- ▶ Le problème du model-checking pour MTL sur des automates temporisés est indécidable [Henzinger 1991].
- ▶ Le problème du model-checking pour MITL sur des automates temporisés est EXPSPACE-complet [Alur et al. 1996].

Procédure de décision pour MITL

Données : une formule φ de MITL et un automate temporisé \mathcal{A}

1. Construction d'un automate temporisé $\mathcal{A}_{\neg\varphi}$ dont les exécutions sont exactement celles qui satisfont la formule $\neg\varphi$.
2. Construction de l'automate temporisé $\mathcal{B} = \mathcal{A} \otimes \mathcal{A}_{\neg\varphi}$ acceptant les exécutions communes à \mathcal{A} et $\mathcal{A}_{\neg\varphi}$.
3. Test du vide pour \mathcal{B} .

Remarque

Les points 1 et 3 sont plus difficiles pour des automates temporisés.

Model-checking de MTL et MITL

Theorèmes

- ▶ Le problème du model-checking pour MTL sur des automates temporisés est indécidable [Henzinger 1991].
- ▶ Le problème du model-checking pour MITL sur des automates temporisés est EXPSPACE-complet [Alur et al. 1996].

Procédure de décision pour MITL

Données : une formule φ de MITL et un automate temporisé \mathcal{A}

1. Construction d'un automate temporisé $\mathcal{A}_{\neg\varphi}$ dont les exécutions sont exactement celles qui satisfont la formule $\neg\varphi$.
2. Construction de l'automate temporisé $\mathcal{B} = \mathcal{A} \otimes \mathcal{A}_{\neg\varphi}$ acceptant les exécutions communes à \mathcal{A} et $\mathcal{A}_{\neg\varphi}$.
3. Test du vide pour \mathcal{B} .

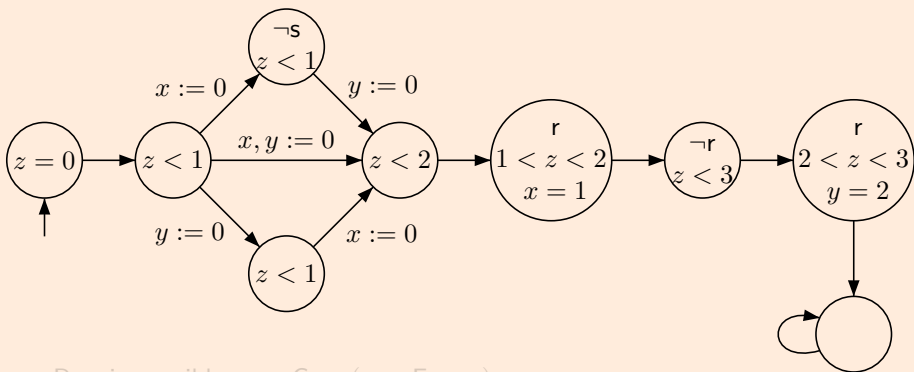
Remarque

Les points 1 et 3 sont plus difficiles pour des automates temporisés.

Exemple de construction

de \mathcal{A}_φ pour $\varphi : G_{]0,1]}(s \Rightarrow F_{[1,2]} r)$

On suppose que s et r sont vraies seulement sur des intervalles réduits à un point, avec au moins une configuration vérifiant r dans $]1, 2[$ et dans $]2, 3[$, et que r est fausse au temps 2.

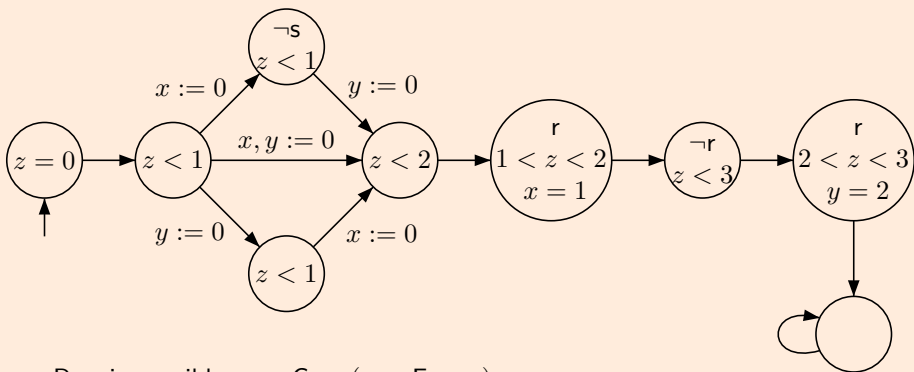


Rq : impossible pour $G_{]0,1]}(s \Rightarrow F_{[1,1]} r)$

Exemple de construction

de \mathcal{A}_φ pour $\varphi : G_{]0,1]}(s \Rightarrow F_{[1,2]} r)$

On suppose que s et r sont vraies seulement sur des intervalles réduits à un point, avec au moins une configuration vérifiant r dans $]1, 2[$ et dans $]2, 3[$, et que r est fausse au temps 2.



Rq : impossible pour $G_{]0,1]}(s \Rightarrow F_{[1,1]} r)$

Test du vide

Theorème [Alur et Dill 1990]

Le test du vide pour les automates temporisés est PSPACE-complet.

Procédure de décision

Donnée : un automate temporisé $\mathcal{A} = (Q, q_0, \ell, Inv, \Delta)$ sur un ensemble d'horloges X , avec domaine de temps $\mathbb{R}_{\geq 0}$

- ▶ Construction d'un automate (de Büchi) non temporisé \mathcal{H} , tel que :
 \mathcal{A} n'a aucune exécution \Leftrightarrow \mathcal{H} n'a aucune exécution.
- ▶ Test du vide pour \mathcal{H} .

Test du vide

Théorème [Alur et Dill 1990]

Le test du vide pour les automates temporisés est PSPACE-complet.

Procédure de décision

Donnée : un automate temporisé $\mathcal{A} = (Q, q_0, \ell, Inv, \Delta)$ sur un ensemble d'horloges X , avec domaine de temps $\mathbb{R}_{\geq 0}$

- ▶ Construction d'un automate (de Büchi) non temporisé \mathcal{H} , tel que :
 \mathcal{A} n'a aucune exécution \Leftrightarrow \mathcal{H} n'a aucune exécution.
- ▶ Test du vide pour \mathcal{H} .

Test du vide

Theorème [Alur et Dill 1990]

Le test du vide pour les automates temporisés est PSPACE-complet.

Procédure de décision

Donnée : un automate temporisé $\mathcal{A} = (Q, q_0, \ell, Inv, \Delta)$ sur un ensemble d'horloges X , avec domaine de temps $\mathbb{R}_{\geq 0}$

- ▶ Construction d'un automate (de Büchi) non temporisé \mathcal{H} , tel que :
 \mathcal{A} n'a aucune exécution \Leftrightarrow \mathcal{H} n'a aucune exécution.
- ▶ Test du vide pour \mathcal{H} .

$$\mathcal{T} = (S, s_0, L, E)$$

système de transition associé à \mathcal{A}

états : (q, v)

$$q \in Q, v \in \mathbb{R}_{\geq 0}^X$$

quotient \rightarrow

\mathcal{H}

automate des régions de \mathcal{A}

états : $(q, [v])$

$q \in Q, [v]$ classe d'équivalence
pour une relation \sim sur $\mathbb{R}_{\geq 0}^X$

Construction d'un quotient (1)

avec les propriétés suivantes :

Pour deux valuations équivalentes $v \sim v'$

1. si une transition **d'action** $q \xrightarrow{g,a,r} q'$ est possible depuis v , alors la même transition est possible depuis v' et les valuations obtenues $v[r \mapsto 0]$ et $v'[r \mapsto 0]$ sont équivalentes,
2. si une transition **de délai** d est possible depuis v , alors une transition de délai d' est possible depuis v' et les valuations obtenues $v + d$ et $v' + d'$ sont équivalentes.

Remarques

- ▶ Cette relation est une bisimulation avec abstraction du temps entre les états de $\mathcal{T} : Q \times \mathbb{R}_{\geq 0}^X$ et ceux de $\mathcal{H} : Q \times \mathbb{R}_{\geq 0}^X / \sim$.
- ▶ Pour la première condition, il suffit de considérer les contraintes $x \bowtie k$, pour les horloges de X et les constantes $0 \leq k \leq m$, où m est la plus grande constante apparaissant dans les contraintes de \mathcal{A} .

Construction d'un quotient (1)

avec les propriétés suivantes :

Pour deux valuations équivalentes $v \sim v'$

1. si une transition **d'action** $q \xrightarrow{g, a, r} q'$ est possible depuis v , alors la même transition est possible depuis v' et les valuations obtenues $v[r \mapsto 0]$ et $v'[r \mapsto 0]$ sont équivalentes,
2. si une transition **de délai** d est possible depuis v , alors une transition de délai d' est possible depuis v' et les valuations obtenues $v + d$ et $v' + d'$ sont équivalentes.

Remarques

- ▶ Cette relation est une bisimulation avec abstraction du temps entre les états de $\mathcal{T} : Q \times \mathbb{R}_{\geq 0}^X$ et ceux de $\mathcal{H} : Q \times \mathbb{R}_{\geq 0}^X / \sim$.
- ▶ Pour la première condition, il suffit de considérer les contraintes $x \bowtie k$, pour les horloges de X et les constantes $0 \leq k \leq m$, où m est la plus grande constante apparaissant dans les contraintes de \mathcal{A} .

Construction d'un quotient (1)

avec les propriétés suivantes :

Pour deux valuations équivalentes $v \sim v'$

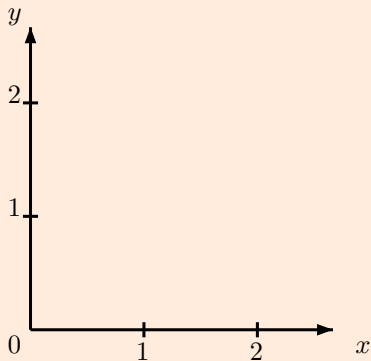
1. si une transition **d'action** $q \xrightarrow{g,a,r} q'$ est possible depuis v , alors la même transition est possible depuis v' et les valuations obtenues $v[r \mapsto 0]$ et $v'[r \mapsto 0]$ sont équivalentes,
2. si une transition **de délai** d est possible depuis v , alors une transition de délai d' est possible depuis v' et les valuations obtenues $v + d$ et $v' + d'$ sont équivalentes.

Remarques

- ▶ Cette relation est une bisimulation avec abstraction du temps entre les états de $\mathcal{T} : Q \times \mathbb{R}_{\geq 0}^X$ et ceux de $\mathcal{H} : Q \times \mathbb{R}_{\geq 0}^X / \sim$.
- ▶ Pour la première condition, il suffit de considérer les contraintes $x \bowtie k$, pour les horloges de X et les constantes $0 \leq k \leq m$, où m est la plus grande constante apparaissant dans les contraintes de \mathcal{A} .

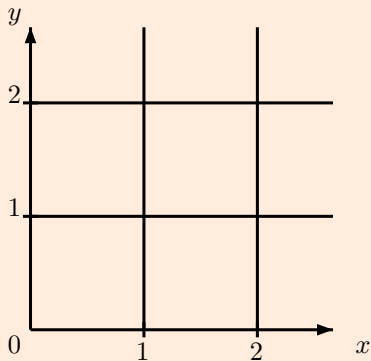
Construction d'un quotient (2)

Vue géométrique avec deux horloges x et y , pour $m = 2$



Construction d'un quotient (2)

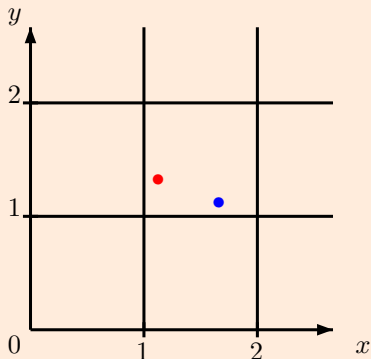
Vue géométrique avec deux horloges x et y , pour $m = 2$



- Compatibilité de valuations équivalentes avec les contraintes $x \bowtie k$

Construction d'un quotient (2)

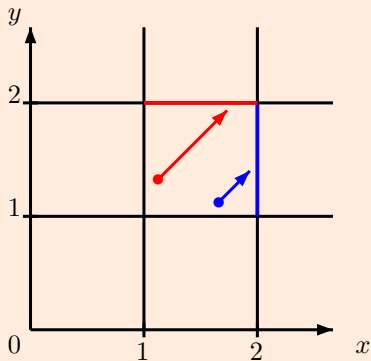
Vue géométrique avec deux horloges x et y , pour $m = 2$



- Compatibilité de valuations équivalentes avec les contraintes $x \bowtie k$
- Compatibilité de valuations équivalentes avec l'écoulement du temps

Construction d'un quotient (2)

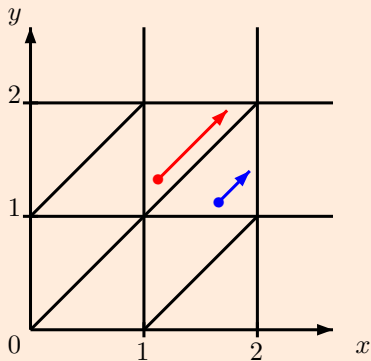
Vue géométrique avec deux horloges x et y , pour $m = 2$



- Compatibilité de valuations équivalentes avec les contraintes $x \bowtie k$
- Compatibilité de valuations équivalentes avec l'écoulement du temps

Construction d'un quotient (2)

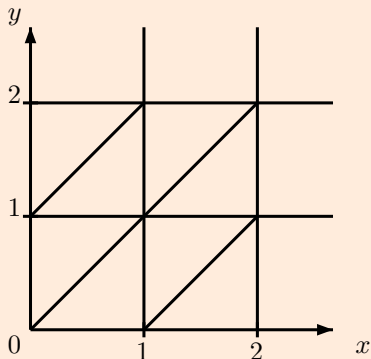
Vue géométrique avec deux horloges x et y , pour $m = 2$



- Compatibilité de valuations équivalentes avec les contraintes $x \bowtie k$
- Compatibilité de valuations équivalentes avec l'écoulement du temps

Construction d'un quotient (2)

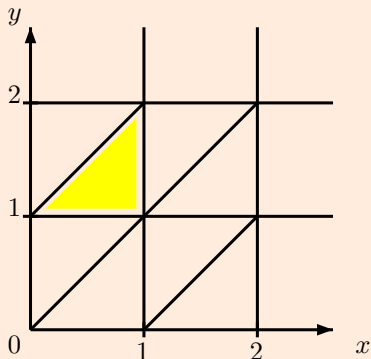
Vue géométrique avec deux horloges x et y , pour $m = 2$



- Compatibilité de valuations équivalentes avec les contraintes $x \bowtie k$
- Compatibilité de valuations équivalentes avec l'écoulement du temps

Construction d'un quotient (2)

Vue géométrique avec deux horloges x et y , pour $m = 2$

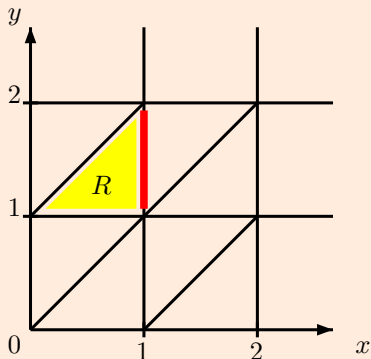


 région R définie par
 $I_x =]0; 1[$, $I_y =]1; 2[$
 $\text{frac}(x) > \text{frac}(y)$

- Compatibilité de valuations équivalentes avec les contraintes $x \bowtie k$
- Compatibilité de valuations équivalentes avec l'écoulement du temps

Construction d'un quotient (2)

Vue géométrique avec deux horloges x et y , pour $m = 2$



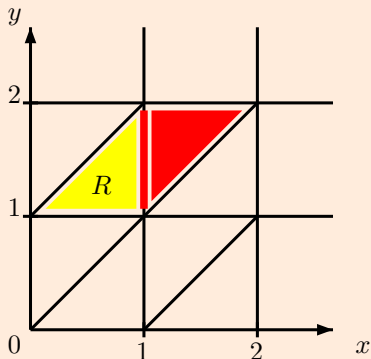
 région R définie par
 $I_x =]0; 1[$, $I_y =]1; 2[$
 $\text{frac}(x) > \text{frac}(y)$

 Successeur de R pour le temps
 $I_x = [1; 1]$, $I_y =]1; 2[$

- Compatibilité de valuations équivalentes avec les contraintes $x \bowtie k$
- Compatibilité de valuations équivalentes avec l'écoulement du temps

Construction d'un quotient (2)

Vue géométrique avec deux horloges x et y , pour $m = 2$



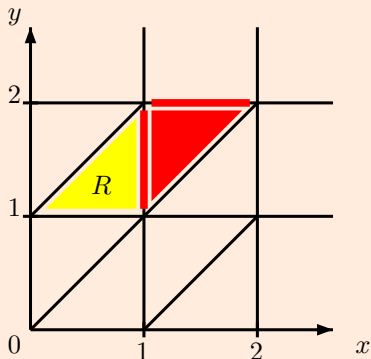
 région R définie par
 $I_x =]0; 1[$, $I_y =]1; 2[$
 $\text{frac}(x) > \text{frac}(y)$

 Successeur de R pour le temps
 $I_x = [1; 1]$, $I_y =]1; 2[$

- Compatibilité de valuations équivalentes avec les contraintes $x \bowtie k$
- Compatibilité de valuations équivalentes avec l'écoulement du temps

Construction d'un quotient (2)

Vue géométrique avec deux horloges x et y , pour $m = 2$



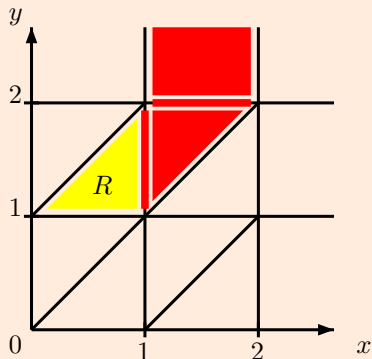
 région R définie par
 $I_x =]0; 1[$, $I_y =]1; 2[$
 $\text{frac}(x) > \text{frac}(y)$

 Successeur de R pour le temps
 $I_x = [1; 1]$, $I_y =]1; 2[$

- Compatibilité de valuations équivalentes avec les contraintes $x \bowtie k$
- Compatibilité de valuations équivalentes avec l'écoulement du temps

Construction d'un quotient (2)

Vue géométrique avec deux horloges x et y , pour $m = 2$



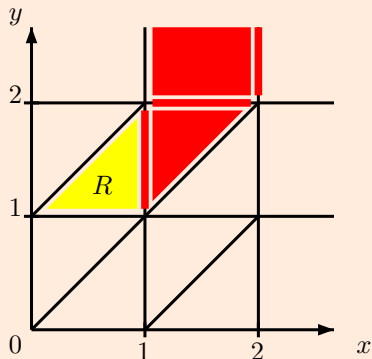
 région R définie par
 $I_x =]0; 1[$, $I_y =]1; 2[$
 $\text{frac}(x) > \text{frac}(y)$

 Successeur de R pour le temps
 $I_x = [1; 1]$, $I_y =]1; 2[$

- Compatibilité de valuations équivalentes avec les contraintes $x \bowtie k$
- Compatibilité de valuations équivalentes avec l'écoulement du temps

Construction d'un quotient (2)

Vue géométrique avec deux horloges x et y , pour $m = 2$



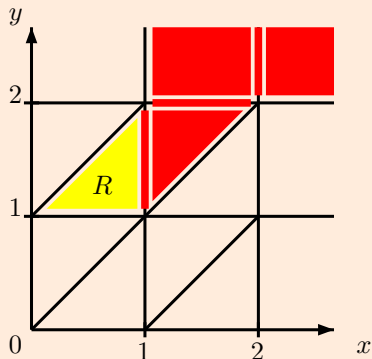
 région R définie par
 $I_x =]0; 1[$, $I_y =]1; 2[$
 $\text{frac}(x) > \text{frac}(y)$

 Successeur de R pour le temps
 $I_x = [1; 1]$, $I_y =]1; 2[$

- Compatibilité de valuations équivalentes avec les contraintes $x \bowtie k$
- Compatibilité de valuations équivalentes avec l'écoulement du temps

Construction d'un quotient (2)

Vue géométrique avec deux horloges x et y , pour $m = 2$



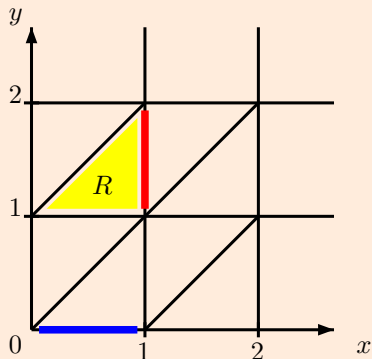
 région R définie par
 $I_x =]0; 1[$, $I_y =]1; 2[$
 $\text{frac}(x) > \text{frac}(y)$

 Successeur de R pour le temps
 $I_x = [1; 1]$, $I_y =]1; 2[$

- Compatibilité de valuations équivalentes avec les contraintes $x \bowtie k$
- Compatibilité de valuations équivalentes avec l'écoulement du temps

Construction d'un quotient (2)

Vue géométrique avec deux horloges x et y , pour $m = 2$



 région R définie par
 $I_x =]0; 1[$, $I_y =]1; 2[$
 $\text{frac}(x) > \text{frac}(y)$

 Successeur de R pour le temps
 $I_x = [1; 1]$, $I_y =]1; 2[$

 Successeur de R pour une action
avec $y := 0$
 $I_x =]0; 1[$, $I_y = [0; 0]$

- Compatibilité de valuations équivalentes avec les contraintes $x \bowtie k$
- Compatibilité de valuations équivalentes avec l'écoulement du temps

Construction d'un quotient (3)

Automate des régions $\mathcal{H}_{\mathcal{A}}$

pour l'automate temporisé $\mathcal{A} = (Q, q_0, \ell, Inv, \Delta)$,
avec ensemble d'horloges X et constante maximale m ,
quotient $\mathbb{R}_{\geq 0}^X / \sim$ noté $\mathcal{R}_{X,m}$.

- ▶ états $Q \times \mathcal{R}_{X,m}$
- ▶ transitions de délai (abstraites) : $(q, R) \xrightarrow{\leq} (q, succ(R))$
- ▶ transitions d'action : $(q, R) \xrightarrow{a} (q', R')$
s'il existe une transition $q \xrightarrow{g,a,r} q'$ de \mathcal{A} avec $R \models g$ et $R' = R[r \mapsto 0]$

Nombre d'états

La taille de $\mathcal{R}_{X,m}$ est en $\mathcal{O}(|X|! \cdot m^{|X|})$, à multiplier par $|Q|$.

Construction d'un quotient (3)

Automate des régions $\mathcal{H}_{\mathcal{A}}$

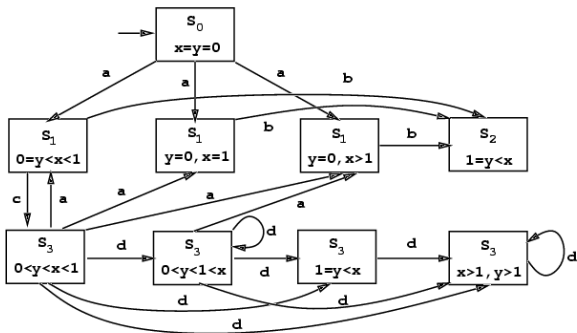
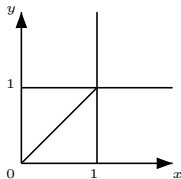
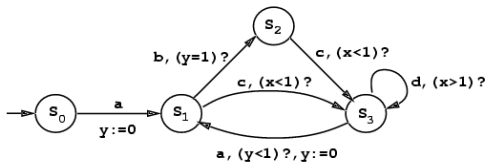
pour l'automate temporisé $\mathcal{A} = (Q, q_0, \ell, Inv, \Delta)$,
avec ensemble d'horloges X et constante maximale m ,
quotient $\mathbb{R}_{\geq 0}^X / \sim$ noté $\mathcal{R}_{X,m}$.

- ▶ états $Q \times \mathcal{R}_{X,m}$
- ▶ transitions de délai (abstraites) : $(q, R) \xrightarrow{\leq} (q, succ(R))$
- ▶ transitions d'action : $(q, R) \xrightarrow{a} (q', R')$
s'il existe une transition $q \xrightarrow{g,a,r} q'$ de \mathcal{A} avec $R \models g$ et $R' = R[r \mapsto 0]$

Nombre d'états

La taille de $\mathcal{R}_{X,m}$ est en $\mathcal{O}(|X|! \cdot m^{|X|})$, à multiplier par $|Q|$.

Exemple [Alur et Dill, 1990]



Autres résultats

- ▶ L'accessibilité d'un état de contrôle pour un automate temporisé \mathcal{A} se ramène au test du vide sur \mathcal{A} .

Ce problème reste PSPACE-complet, même pour des automates à 3 horloges, ou pour des automates dont les constantes sont dans $\{0, 1\}$.

- ▶ Résultats de décidabilité pour des variantes (TPTL, coFlat-MTL) ou une sémantique plus simple pour MTL, avec :
 - un temps discret [Alur et Henzinger, 1989, 1990],
 - une sémantique discrète [Ouaknine et Worrell, 2005], [Bouyer et al. 2005, 2007].

Autres résultats

- ▶ L'accessibilité d'un état de contrôle pour un automate temporisé \mathcal{A} se ramène au test du vide sur \mathcal{A} .
Ce problème reste PSPACE-complet, même pour des automates à 3 horloges, ou pour des automates dont les constantes sont dans $\{0, 1\}$.
- ▶ Résultats de décidabilité pour des variantes (TPTL, coFlat-MTL) ou une sémantique plus simple pour MTL, avec :
 - un temps discret [Alur et Henzinger, 1989, 1990],
 - une sémantique discrète [Ouaknine et Worrell, 2005], [Bouyer et al. 2005, 2007].

Model-checking de CTL

Theorème [Clarke et Emerson 1981], [Queille et Sifakis 1982]

Le problème du model-checking pour une formule φ de CTL sur une structure de Kripke \mathcal{K} est décidable en temps $\mathcal{O}(|\mathcal{K}| \cdot |\varphi|)$.

Procédure de décision

Une procédure récursive de marquage des états de la structure de Kripke : pour chaque sous-formule ψ de φ et chaque état q , la procédure affecte vrai à $q \cdot \psi$ si $q \models \psi$, et faux sinon.

Le marquage de φ est alors calculé selon les cas : φ est une proposition atomique, $\varphi = \neg\psi$, $\varphi = \psi_1 \wedge \psi_2$, $\varphi = EX\psi$, etc.

Un cas simple : $\varphi = EX\psi$

Marquage(ψ) ;

pour tout état $q \in Q$, $q \cdot \varphi :=$ faux ;

pour toute transition $q \rightarrow q'$, si $q' \cdot \psi$ alors $q \cdot \varphi :=$ vrai ;

Model-checking de CTL

Theorème [Clarke et Emerson 1981], [Queille et Sifakis 1982]

Le problème du model-checking pour une formule φ de CTL sur une structure de Kripke \mathcal{K} est décidable en temps $\mathcal{O}(|\mathcal{K}| \cdot |\varphi|)$.

Procédure de décision

Une procédure récursive de marquage des états de la structure de Kripke : pour chaque sous-formule ψ de φ et chaque état q , la procédure affecte vrai à $q \cdot \psi$ si $q \models \psi$, et faux sinon.

Le marquage de φ est alors calculé selon les cas : φ est une proposition atomique, $\varphi = \neg\psi$, $\varphi = \psi_1 \wedge \psi_2$, $\varphi = EX\psi$, etc.

Un cas simple : $\varphi = EX\psi$

Marquage(ψ) ;

pour tout état $q \in Q$, $q \cdot \varphi :=$ faux ;

pour toute transition $q \rightarrow q'$, si $q' \cdot \psi$ alors $q \cdot \varphi :=$ vrai ;

Model-checking de CTL

Theorème [Clarke et Emerson 1981], [Queille et Sifakis 1982]

Le problème du model-checking pour une formule φ de CTL sur une structure de Kripke \mathcal{K} est décidable en temps $\mathcal{O}(|\mathcal{K}| \cdot |\varphi|)$.

Procédure de décision

Une procédure récursive de marquage des états de la structure de Kripke : pour chaque sous-formule ψ de φ et chaque état q , la procédure affecte vrai à $q \cdot \psi$ si $q \models \psi$, et faux sinon.

Le marquage de φ est alors calculé selon les cas : φ est une proposition atomique, $\varphi = \neg\psi$, $\varphi = \psi_1 \wedge \psi_2$, $\varphi = \text{EX}\psi$, etc.

Un cas simple : $\varphi = \text{EX}\psi$

Marquage(ψ) ;

pour tout état $q \in Q$, $q \cdot \varphi := \text{faux}$;

pour toute transition $q \rightarrow q'$, si $q' \cdot \psi$ alors $q \cdot \varphi := \text{vrai}$;

Model-checking de TCTL

Theorème [Alur et al. 1993]

Le problème du model-checking de TCTL pour les automates temporisés est PSPACE-complet.

Procédure de décision

Elle utilise la propriété de l'équivalence :

si $v \sim v'$ alors pour toute formule φ de TCTL, $(q, v) \models \varphi \Leftrightarrow (q, v') \models \varphi$

Données : une formule φ de TCTL et un automate temporisé \mathcal{A}

Appliquer la procédure de marquage à une variante de l'automate des régions.

- ▶ L'automate des régions \mathcal{H} est construit avec :
 - l'ensemble d'horloges $X^* = X \cup \{z_\varphi\}$, pour une nouvelle horloge z_φ ,
 - la constante $M = \max(m_\varphi, m_{\mathcal{A}})$
 - $m_{\mathcal{A}}$: constante maximale associée à \mathcal{A}
 - m_φ : constante maximale dans les contraintes temporelles de φ .
- ▶ L'étiquetage utilise de nouvelles propositions atomiques $p_{\bowtie c}$:
 - $p_{\bowtie c}$ est vraie dans une configuration si $z_\varphi \bowtie c$.

Model-checking de TCTL

Theorème [Alur et al. 1993]

Le problème du model-checking de TCTL pour les automates temporisés est PSPACE-complet.

Procédure de décision

Elle utilise la propriété de l'équivalence :

si $v \sim v'$ alors pour toute formule φ de TCTL, $(q, v) \models \varphi \Leftrightarrow (q, v') \models \varphi$

Données : une formule φ de TCTL et un automate temporisé \mathcal{A}

Appliquer la procédure de marquage à une variante de l'automate des régions.

- ▶ L'automate des régions \mathcal{H} est construit avec :
 - l'ensemble d'horloges $X^* = X \cup \{z_\varphi\}$, pour une nouvelle horloge z_φ ,
 - la constante $M = \max(m_\varphi, m_{\mathcal{A}})$
 - $m_{\mathcal{A}}$: constante maximale associée à \mathcal{A}
 - m_φ : constante maximale dans les contraintes temporelles de φ .
- ▶ L'étiquetage utilise de nouvelles propositions atomiques $p_{\bowtie c}$:
 $p_{\bowtie c}$ est vraie dans une configuration si $z_\varphi \bowtie c$.

Model-checking de TCTL

Theorème [Alur et al. 1993]

Le problème du model-checking de TCTL pour les automates temporisés est PSPACE-complet.

Procédure de décision

Elle utilise la propriété de l'équivalence :

si $v \sim v'$ alors pour toute formule φ de TCTL, $(q, v) \models \varphi \Leftrightarrow (q, v') \models \varphi$

Données : une formule φ de TCTL et un automate temporisé \mathcal{A}

Appliquer la procédure de marquage à une variante de l'automate des régions.

- ▶ L'automate des régions \mathcal{H} est construit avec :
 - l'ensemble d'horloges $X^* = X \cup \{z_\varphi\}$, pour une nouvelle horloge z_φ ,
 - la constante $M = \max(m_\varphi, m_{\mathcal{A}})$
 - $m_{\mathcal{A}}$: constante maximale associée à \mathcal{A}
 - m_φ : constante maximale dans les contraintes temporelles de φ .
- ▶ L'étiquetage utilise de nouvelles propositions atomiques $p_{\bowtie c}$:
 $p_{\bowtie c}$ est vraie dans une configuration si $z_\varphi \bowtie c$.

Model-checking de TCTL

Theorème [Alur et al. 1993]

Le problème du model-checking de TCTL pour les automates temporisés est PSPACE-complet.

Procédure de décision

Elle utilise la propriété de l'équivalence :

si $v \sim v'$ alors pour toute formule φ de TCTL, $(q, v) \models \varphi \Leftrightarrow (q, v') \models \varphi$

Données : une formule φ de TCTL et un automate temporisé \mathcal{A}

Appliquer la procédure de marquage à une variante de l'automate des régions.

- ▶ L'automate des régions \mathcal{H} est construit avec :
 - l'ensemble d'horloges $X^* = X \cup \{z_\varphi\}$, pour une nouvelle horloge z_φ ,
 - la constante $M = \max(m_\varphi, m_{\mathcal{A}})$
 - $m_{\mathcal{A}}$: constante maximale associée à \mathcal{A}
 - m_φ : constante maximale dans les contraintes temporelles de φ .
- ▶ L'étiquetage utilise de nouvelles propositions atomiques $p_{\bowtie c}$:
 $p_{\bowtie c}$ est vraie dans une configuration si $z_\varphi \bowtie c$.

Model-checking de TCTL

Theorème [Alur et al. 1993]

Le problème du model-checking de TCTL pour les automates temporisés est PSPACE-complet.

Procédure de décision

Elle utilise la propriété de l'équivalence :

si $v \sim v'$ alors pour toute formule φ de TCTL, $(q, v) \models \varphi \Leftrightarrow (q, v') \models \varphi$

Données : une formule φ de TCTL et un automate temporisé \mathcal{A}

Appliquer la procédure de marquage à une variante de l'automate des régions.

- ▶ L'automate des régions \mathcal{H} est construit avec :
l'ensemble d'horloges $X^* = X \cup \{z_\varphi\}$, pour une nouvelle horloge z_φ ,
la constante $M = \max(m_\varphi, m_{\mathcal{A}})$
 $m_{\mathcal{A}}$: constante maximale associée à \mathcal{A}
 m_φ : constante maximale dans les contraintes temporelles de φ .
- ▶ L'étiquetage utilise de nouvelles propositions atomiques $p_{\bowtie c}$:
 $p_{\bowtie c}$ est vraie dans une configuration si $z_\varphi \bowtie c$.

Exemple

pour la formule $AF_{<3}ok$

- ▶ Etats de \mathcal{H} : $(q, [v, \gamma])$ pour une configuration (q, v) de \mathcal{A} et une classe étendue $[v, \gamma]$ où γ est une valeur de z_φ .

▶ Alors :

$$(q, v) \models AF_{<3}ok \Leftrightarrow (q, [v, 0]) \models AF(ok \wedge z_\varphi < 3)$$

A partir d'un état où la valeur de z_φ est égale à 0, on peut toujours atteindre un état où ok est vraie en même temps que la valeur de z_φ est strictement inférieure à 3.

- ▶ En utilisant la nouvelle proposition atomique $p_{<3}$, on obtient :

$$(q, v) \models AF_{<3}ok \Leftrightarrow (q, [v, 0]) \models AF(ok \wedge p_{<3})$$

ce qui ramène au model-checking de CTL sur une structure finie.

Exemple

pour la formule $AF_{<3}ok$

- ▶ Etats de \mathcal{H} : $(q, [v, \gamma])$ pour une configuration (q, v) de \mathcal{A} et une classe étendue $[v, \gamma]$ où γ est une valeur de z_φ .
- ▶ Alors :

$$(q, v) \models AF_{<3}ok \Leftrightarrow (q, [v, 0]) \models AF(ok \wedge z_\varphi < 3)$$

A partir d'un état où la valeur de z_φ est égale à 0, on peut toujours atteindre un état où ok est vraie en même temps que la valeur de z_φ est strictement inférieure à 3.

- ▶ En utilisant la nouvelle proposition atomique $p_{<3}$, on obtient :

$$(q, v) \models AF_{<3}ok \Leftrightarrow (q, [v, 0]) \models AF(ok \wedge p_{<3})$$

ce qui ramène au model-checking de CTL sur une structure finie.

Exemple

pour la formule $AF_{<3}ok$

- ▶ Etats de \mathcal{H} : $(q, [v, \gamma])$ pour une configuration (q, v) de \mathcal{A} et une classe étendue $[v, \gamma]$ où γ est une valeur de z_φ .
- ▶ Alors :

$$(q, v) \models AF_{<3}ok \Leftrightarrow (q, [v, 0]) \models AF(ok \wedge z_\varphi < 3)$$

A partir d'un état où la valeur de z_φ est égale à 0, on peut toujours atteindre un état où ok est vraie en même temps que la valeur de z_φ est strictement inférieure à 3.

- ▶ En utilisant la nouvelle proposition atomique $p_{<3}$, on obtient :

$$(q, v) \models AF_{<3}ok \Leftrightarrow (q, [v, 0]) \models AF(ok \wedge p_{<3})$$

ce qui ramène au model-checking de CTL sur une structure finie.

Complexité

- ▶ La complexité de la vérification est plus élevée dans le cas temporel. L'ajout d'une horloge revient à l'ajout d'un composant :

| | | |
|-----------------------|-------------------------------|------------------------------------|
| Vérification | $\mathcal{T} \models \varphi$ | "syst. non plat" $\models \varphi$ |
| Accessibilité | NLOGSPACE-C | PSPACE-C |
| model-checking de CTL | P-C | PSPACE-C |

- ▶ Des problèmes souvent même indécidables : model-checking de MTL, satisfaisabilité de TCTL, ou extensions du modèle des automates temporels.

Des algorithmes plus simples

par restriction : logique $\text{TCTL}_{\leq, \geq}$ (sans égalité)

- ▶ pour des structures de Kripke avec durées, model-checking en temps polynomial en $|\mathcal{K}| \cdot |\varphi|$ [Laroussinie et al. 2002]
- ▶ pour des automates temporels à une seule horloge, model-checking P-complet [Laroussinie et al. 2004]

Complexité

- ▶ La complexité de la vérification est plus élevée dans le cas temporelisé. L'ajout d'une horloge revient à l'ajout d'un composant :

| | | |
|-----------------------|-------------------------------|------------------------------------|
| Vérification | $\mathcal{T} \models \varphi$ | "syst. non plat" $\models \varphi$ |
| Accessibilité | NLOGSPACE-C | PSPACE-C |
| model-checking de CTL | P-C | PSPACE-C |

- ▶ Des problèmes souvent même indécidables :
model-checking de MTL, satisfaisabilité de TCTL,
ou extensions du modèle des automates temporels.

Des algorithmes plus simples

par restriction : logique $TCTL_{\leq, \geq}$ (sans égalité)

- ▶ pour des structures de Kripke avec durées, model-checking en temps polynomial en $|\mathcal{K}| \cdot |\varphi|$ [Laroussinie et al. 2002]
- ▶ pour des automates temporels à une seule horloge, model-checking P-complet [Laroussinie et al. 2004]

Complexité

- ▶ La complexité de la vérification est plus élevée dans le cas temporelisé. L'ajout d'une horloge revient à l'ajout d'un composant :

| | | |
|-----------------------|-------------------------------|------------------------------------|
| Vérification | $\mathcal{T} \models \varphi$ | "syst. non plat" $\models \varphi$ |
| Accessibilité | NLOGSPACE-C | PSPACE-C |
| model-checking de CTL | P-C | PSPACE-C |

- ▶ Des problèmes souvent même indécidables : model-checking de MTL, satisfaisabilité de TCTL, ou extensions du modèle des automates temporelisés.

Des algorithmes plus simples

par restriction : logique $TCTL_{\leq, \geq}$ (sans égalité)

- ▶ pour des structures de Kripke avec durées, model-checking en temps polynomial en $|\mathcal{K}| \cdot |\varphi|$ [Laroussinie et al. 2002]
- ▶ pour des automates temporelisés à une seule horloge, model-checking P-complet [Laroussinie et al. 2004]

Complexité

- ▶ La complexité de la vérification est plus élevée dans le cas temporel. L'ajout d'une horloge revient à l'ajout d'un composant :

| | | |
|-----------------------|-------------------------------|------------------------------------|
| Vérification | $\mathcal{T} \models \varphi$ | "syst. non plat" $\models \varphi$ |
| Accessibilité | NLOGSPACE-C | PSPACE-C |
| model-checking de CTL | P-C | PSPACE-C |

- ▶ Des problèmes souvent même indécidables :
model-checking de MTL, satisfaisabilité de TCTL,
ou extensions du modèle des automates temporels.

Des algorithmes plus simples

par restriction : logique $\text{TCTL}_{\leq, \geq}$ (sans égalité)

- ▶ pour des structures de Kripke avec durées, model-checking en temps polynomial en $|\mathcal{K}| \cdot |\varphi|$ [Laroussinie et al. 2002]
- ▶ pour des automates temporels à une seule horloge, model-checking P-complet [Laroussinie et al. 2004]

Complexité

- ▶ La complexité de la vérification est plus élevée dans le cas temporel. L'ajout d'une horloge revient à l'ajout d'un composant :

| | | |
|-----------------------|-------------------------------|------------------------------------|
| Vérification | $\mathcal{T} \models \varphi$ | "syst. non plat" $\models \varphi$ |
| Accessibilité | NLOGSPACE-C | PSPACE-C |
| model-checking de CTL | P-C | PSPACE-C |

- ▶ Des problèmes souvent même indécidables : model-checking de MTL, satisfaisabilité de TCTL, ou extensions du modèle des automates temporels.

Des algorithmes plus simples

par restriction : logique $\text{TCTL}_{\leq, \geq}$ (sans égalité)

- ▶ pour des structures de Kripke avec durées, model-checking en temps polynomial en $|\mathcal{K}| \cdot |\varphi|$ [Laroussinie et al. 2002]
- ▶ pour des **automates temporels à une seule horloge**, model-checking P-complet [Laroussinie et al. 2004]

En pratique

De nombreux outils

souvent efficaces malgré la complexité :

- ▶ KRONOS, UPPAAL, pour les automates temporisés
- ▶ HCMC, HYTECH, pour des automates temporisés étendus (hybrides)
- ▶ TSMV pour les structures de Kripke avec durées
- ▶ Roméo, TINA, pour les réseaux de Petri temporels
- ▶ ...

Des structures de données adaptées

- ▶ au codage des régions ou des zones : les DBM (Difference Bounded Matrices) et des variantes (CDD, NDD, etc.)
- ▶ au codage de polyèdres

Des heuristiques pour les algorithmes

- ▶ analyse à la volée
- ▶ méthodes compositionnelles
- ▶ résolution de contraintes

En pratique

De nombreux outils

souvent efficaces malgré la complexité :

- ▶ KRONOS, UPPAAL, pour les automates temporisés
- ▶ HCMC, HYTECH, pour des automates temporisés étendus (hybrides)
- ▶ TSMV pour les structures de Kripke avec durées
- ▶ Roméo, TINA, pour les réseaux de Petri temporels
- ▶ ...

Des structures de données adaptées

- ▶ au codage des régions ou des zones : les DBM (Difference Bounded Matrices) et des variantes (CDD, NDD, etc.)
- ▶ au codage de polyèdres

Des heuristiques pour les algorithmes

- ▶ analyse à la volée
- ▶ méthodes compositionnelles
- ▶ résolution de contraintes

En pratique

De nombreux outils

souvent efficaces malgré la complexité :

- ▶ KRONOS, UPPAAL, pour les automates temporisés
- ▶ HCMC, HYTECH, pour des automates temporisés étendus (hybrides)
- ▶ TSMV pour les structures de Kripke avec durées
- ▶ Roméo, TINA, pour les réseaux de Petri temporels
- ▶ ...

Des structures de données adaptées

- ▶ au codage des régions ou des zones : les DBM (Difference Bounded Matrices) et des variantes (CDD, NDD, etc.)
- ▶ au codage de polyèdres

Des heuristiques pour les algorithmes

- ▶ analyse à la volée
- ▶ méthodes compositionnelles
- ▶ résolution de contraintes

Plan

Modèles temporisés

Logiques temporisées

Model-checking

Conclusion

Conclusion

De nombreux autres travaux dans ce domaine

- ▶ pour d'autres modèles et d'autres langages de spécification
- ▶ pour des extensions quantitatives avec poids, coûts, probabilités, etc.
- ▶ en relation avec les problèmes de contrôle et les jeux.

Perspectives

Théorique : affiner les frontières de la décidabilité.

Pratique : contourner le problème de l'explosion combinatoire.

- ▶ spécifications et modèles adaptés à des contextes particuliers, avec des algorithmes de vérification plus simples
- ▶ structures de données adaptées au mélange continu + discret
- ▶ techniques d'abstraction

Conclusion

De nombreux autres travaux dans ce domaine

- ▶ pour d'autres modèles et d'autres langages de spécification
- ▶ pour des extensions quantitatives avec poids, coûts, probabilités, etc.
- ▶ en relation avec les problèmes de contrôle et les jeux.

Perspectives

Théorique : affiner les frontières de la décidabilité.

Pratique : contourner le problème de l'explosion combinatoire.

- ▶ spécifications et modèles adaptés à des contextes particuliers, avec des algorithmes de vérification plus simples
- ▶ structures de données adaptées au mélange continu + discret
- ▶ techniques d'abstraction

